



# Courbes et surfaces de subdivision

**Sylvain Brandel**

*[sylvain.brandel@liris.univ-lyon1.fr](mailto:sylvain.brandel@liris.univ-lyon1.fr)*

*<http://bat710.univ-lyon1.fr/~sbrandel>*

**Gamagora – M2 pro CIM programmation et développement**

*UE4 – Outils mathématiques et modélisation*

*Partie B – Modélisation*

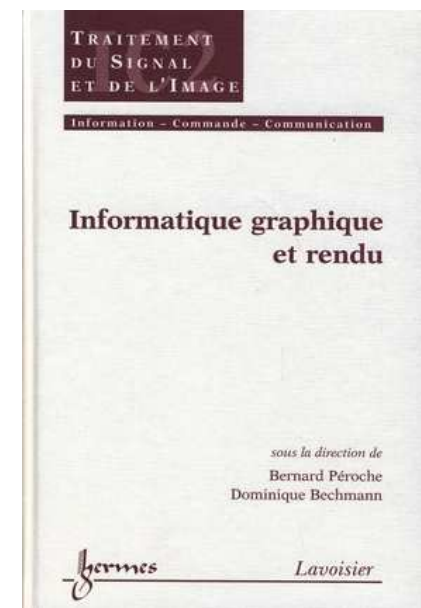
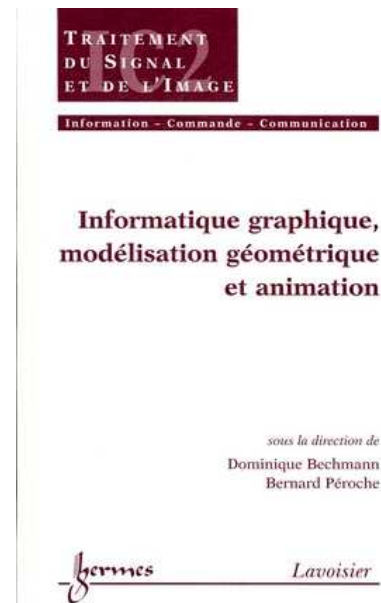
**Université Claude Bernard Lyon 1**

**UFR d'informatique**

# Sources

- « Courbes et surfaces de subdivision » (Loïc Barthe, IRIT)
- « Les surfaces de subdivision en modélisation géométrique : état de l'art » (Dominique Bechmann, LSIIT)
- Le web...
- « Informatique graphique, modélisation géométrique et animation » (Dominique Bechmann, LSIIT, Bernard Péroche, LIRIS)

**Les transparents et images  
proviennent partiellement  
des sources citées**



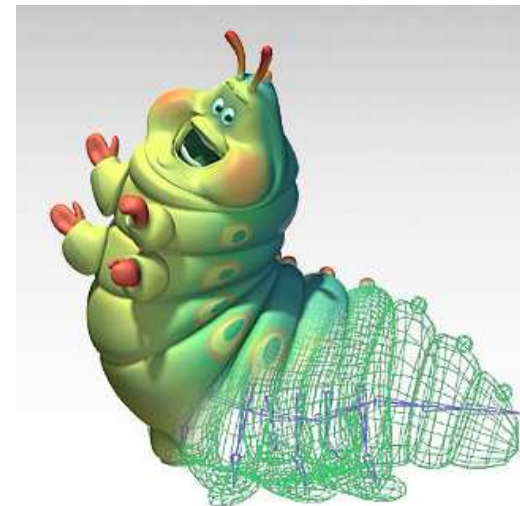
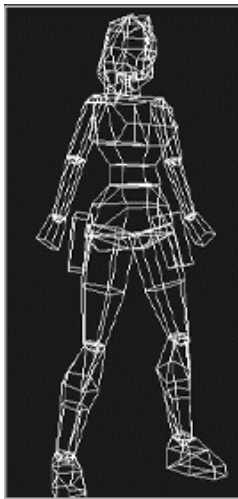


# Introduction

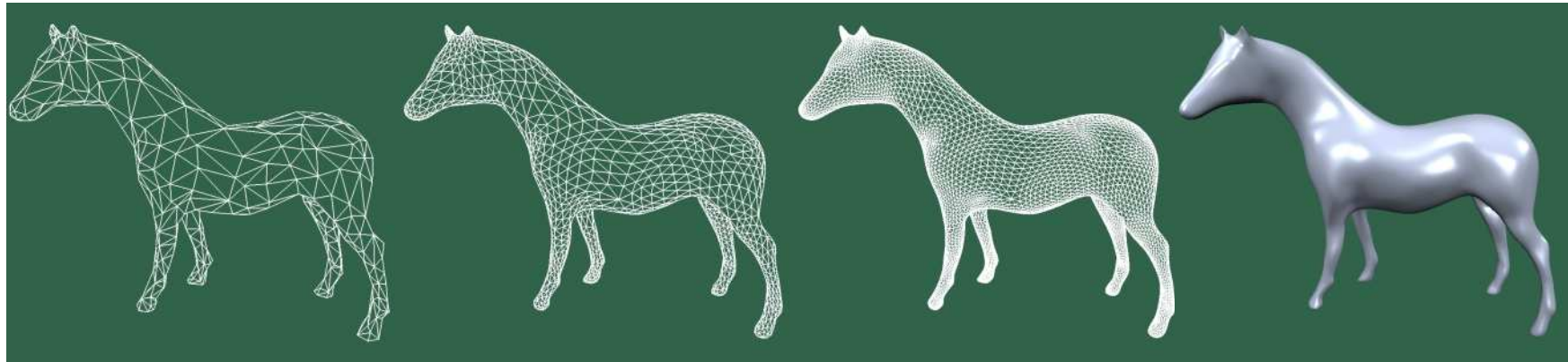


# Surfaces paramétriques

- Carreaux de Bézier, B-splines, NURBS...
- Avantages
  - Modélisation par carreau type couture
  - Chaque carreau est défini par un polygone de contrôle
- Difficultés
  - contrôle des connexions entre carreaux
  - ajuster la surface à un polygone de contrôle quelconque



## Exemples

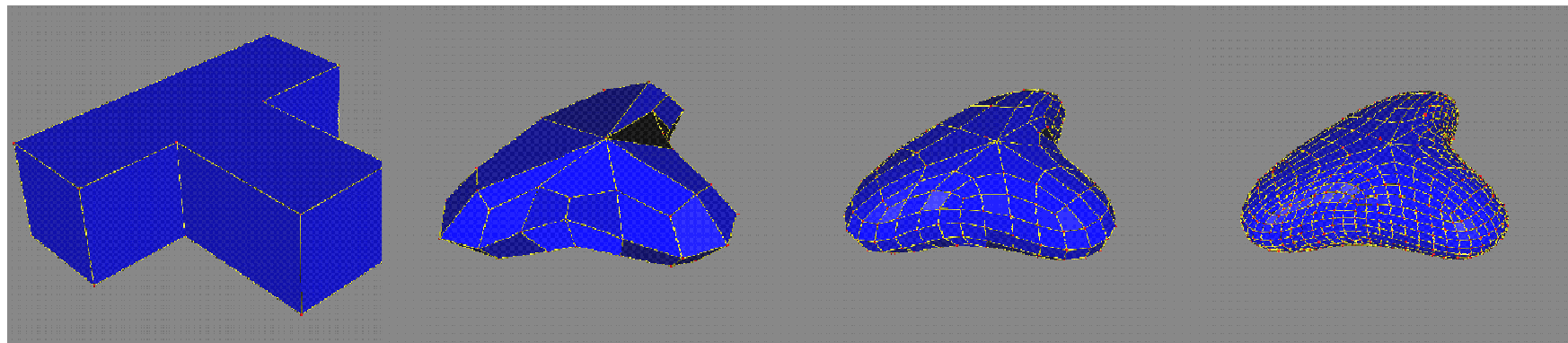


maillage initial

après 1 pas de  
subdivision

après 2 pas de  
subdivision

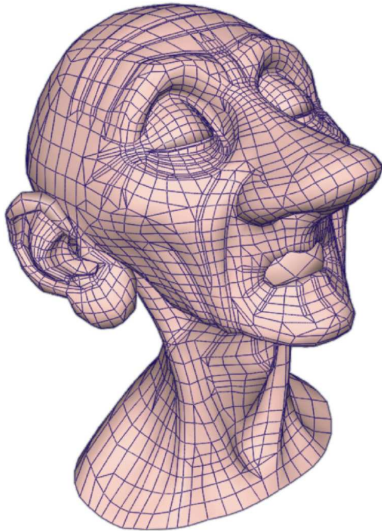
surface limite



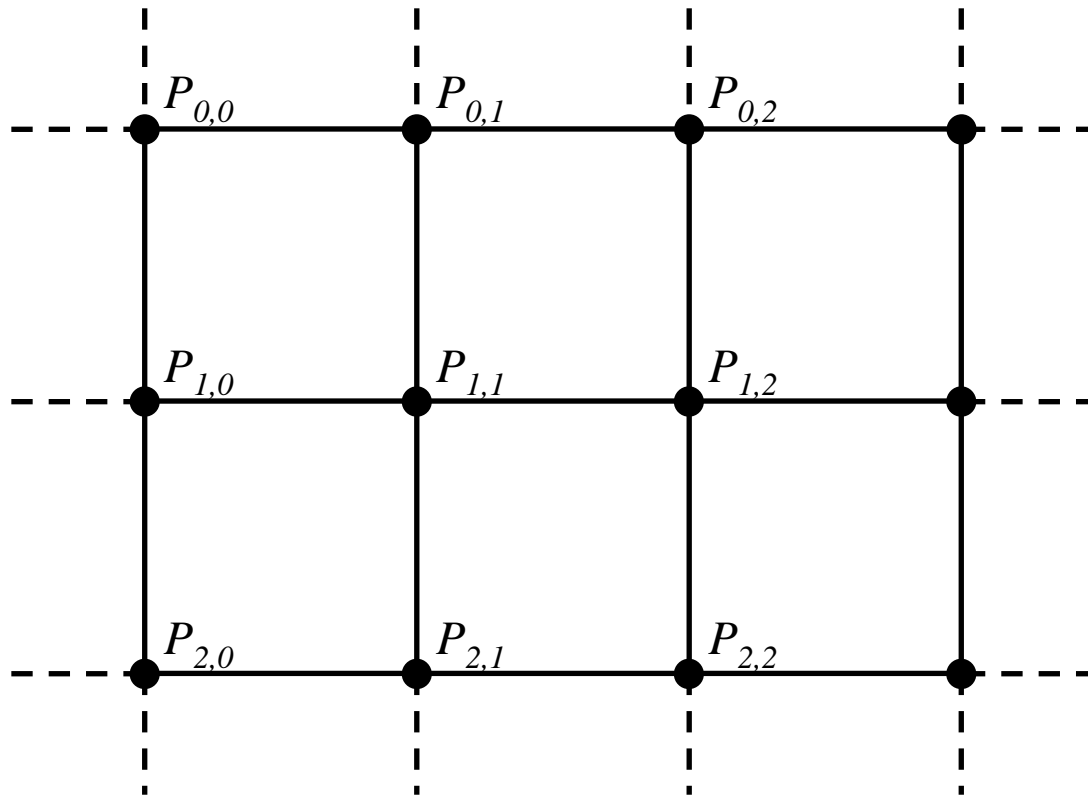


## 1<sup>ère</sup> utilisation

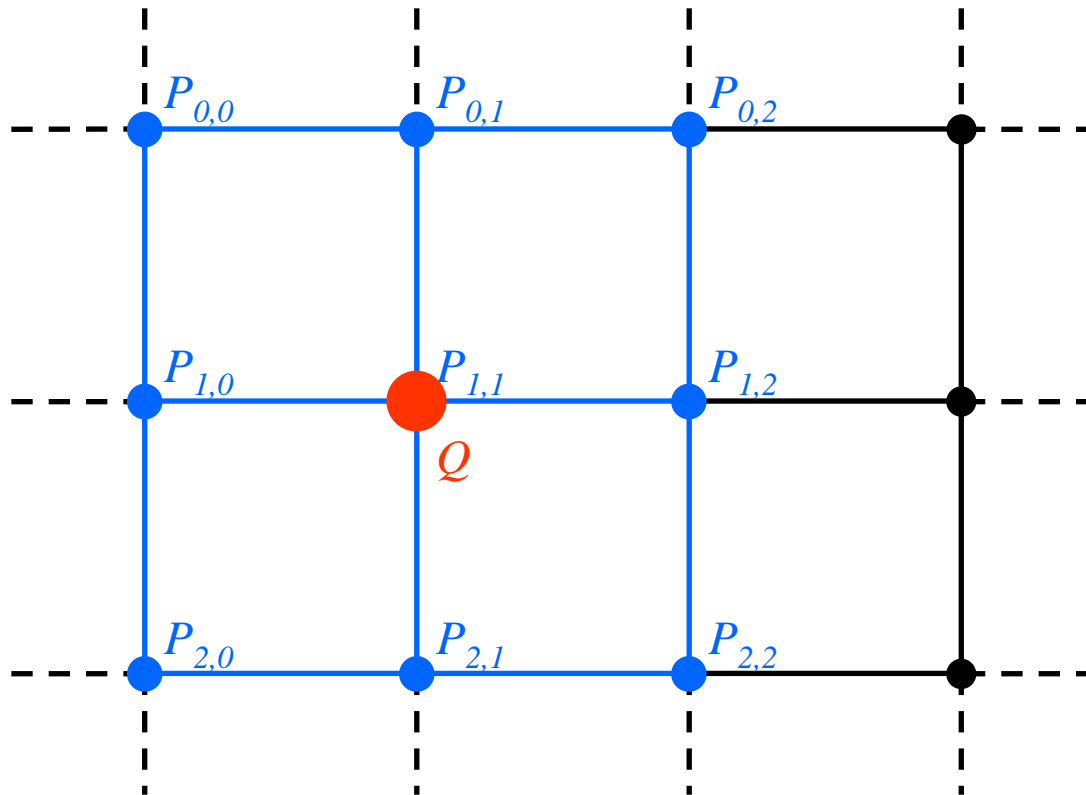
- Geri's Game (1998) : Pixar Animation Studios



# Principe



## Principe



$$\begin{array}{ccccc} 1 & \text{---} & 6 & \text{---} & 1 \\ | & & | & & | \\ 6 & \text{---} & 36 & \text{---} & 6 \\ | & & | & & | \\ 1 & \text{---} & 6 & \text{---} & 1 \end{array}$$

$$\begin{aligned} Q = & \frac{1}{64} P_{0,0} + \frac{6}{64} P_{0,1} + \frac{1}{64} P_{0,2} \\ & + \frac{6}{64} P_{1,0} + \frac{36}{64} P_{1,1} + \frac{6}{64} P_{1,2} \\ & + \frac{1}{64} P_{2,0} + \frac{6}{64} P_{2,1} + \frac{1}{64} P_{2,2} \end{aligned}$$

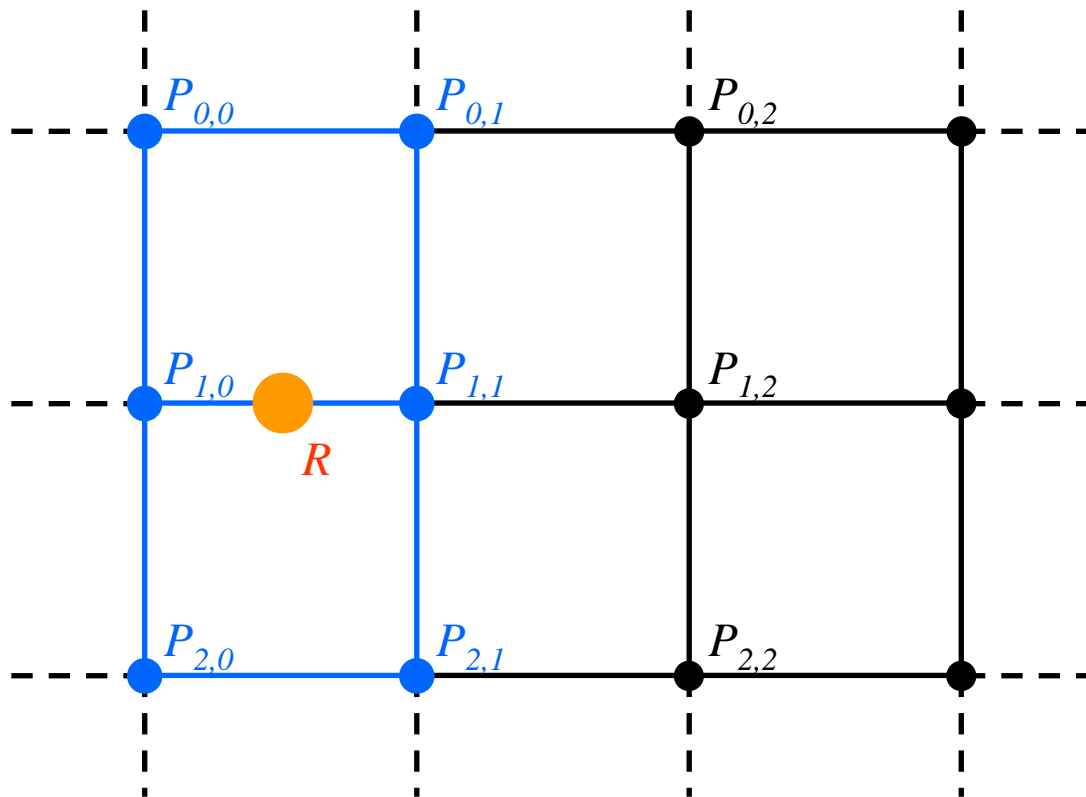
1. Chaque sommet  $P_{i,j}$  est **déplacé**

La nouvelle position  $Q$  dépend - de  $P_{i,j}$

- de ses voisins



## Principe

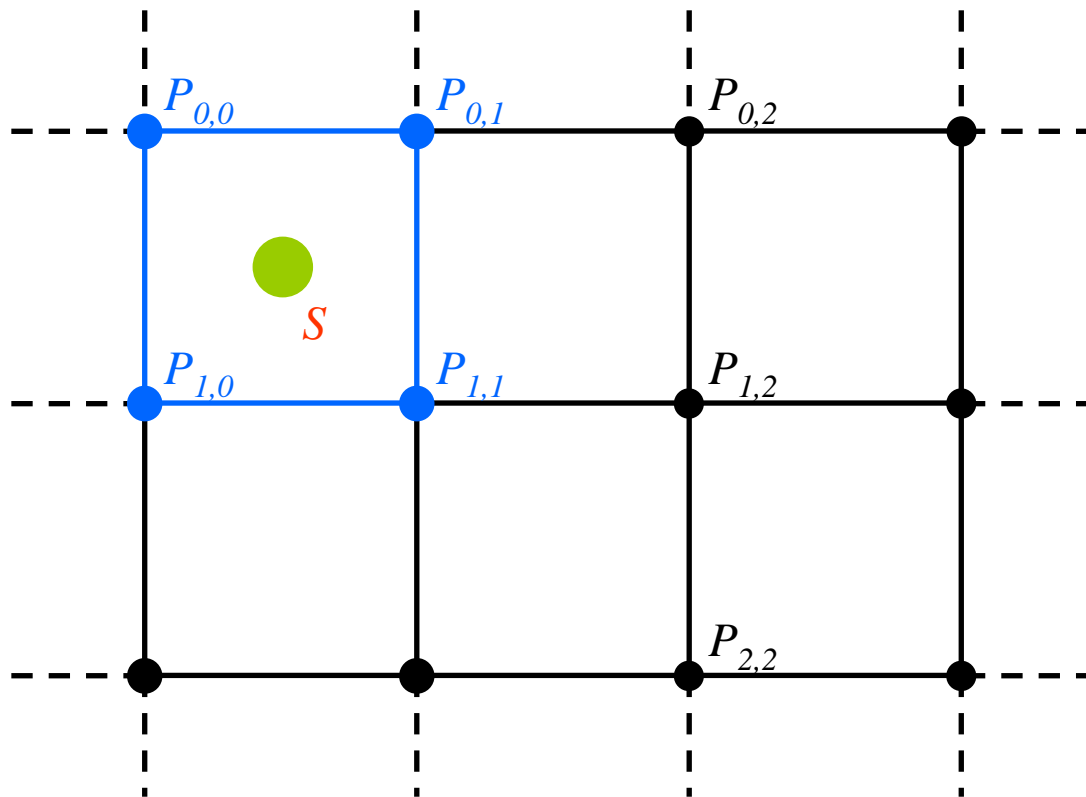


$$\begin{array}{cc} 4 & \text{---} & 4 \\ | & & | \\ 24 & \text{---} & 24 \\ | & & | \\ 4 & \text{---} & 4 \end{array}$$

$$R = \frac{4}{64} P_{0,0} + \frac{4}{64} P_{0,1} + \frac{24}{64} P_{1,0} + \frac{24}{64} P_{1,1} + \frac{4}{64} P_{2,0} + \frac{4}{64} P_{2,1}$$

2. De nouveaux points sont **insérés**
  - a. sur chaque **arête**

## Principe

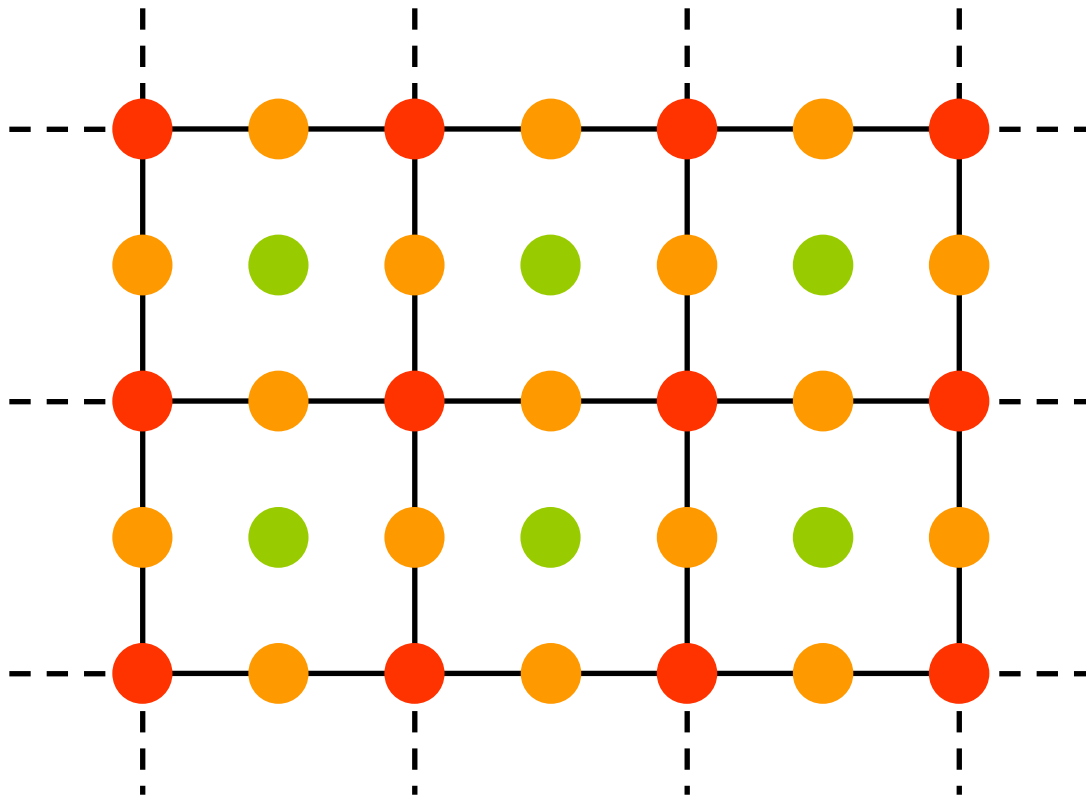


$$\begin{array}{cc} 16 & \text{---} & 16 \\ | & & | \\ 16 & \text{---} & 16 \end{array}$$

$$S = \frac{16}{64} P_{0,0} + \frac{16}{64} P_{0,1} + \frac{16}{64} P_{1,0} + \frac{16}{64} P_{1,1}$$

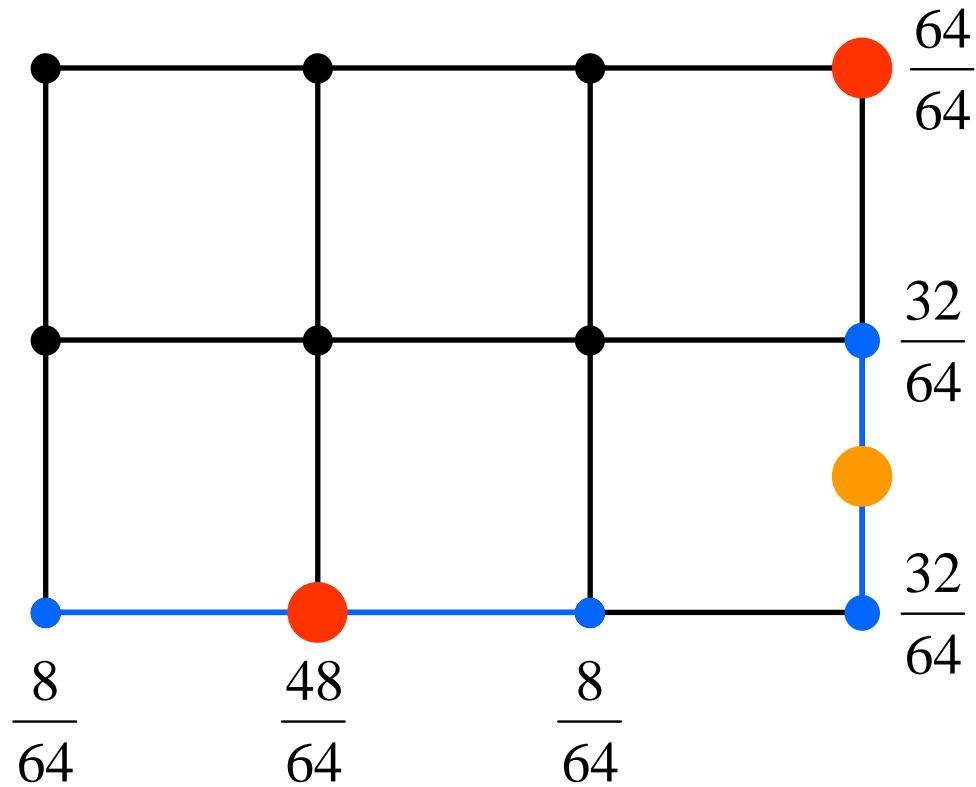
2. De nouveaux points sont **insérés**
  - b. sur chaque **face** (éventuellement)

## Principe



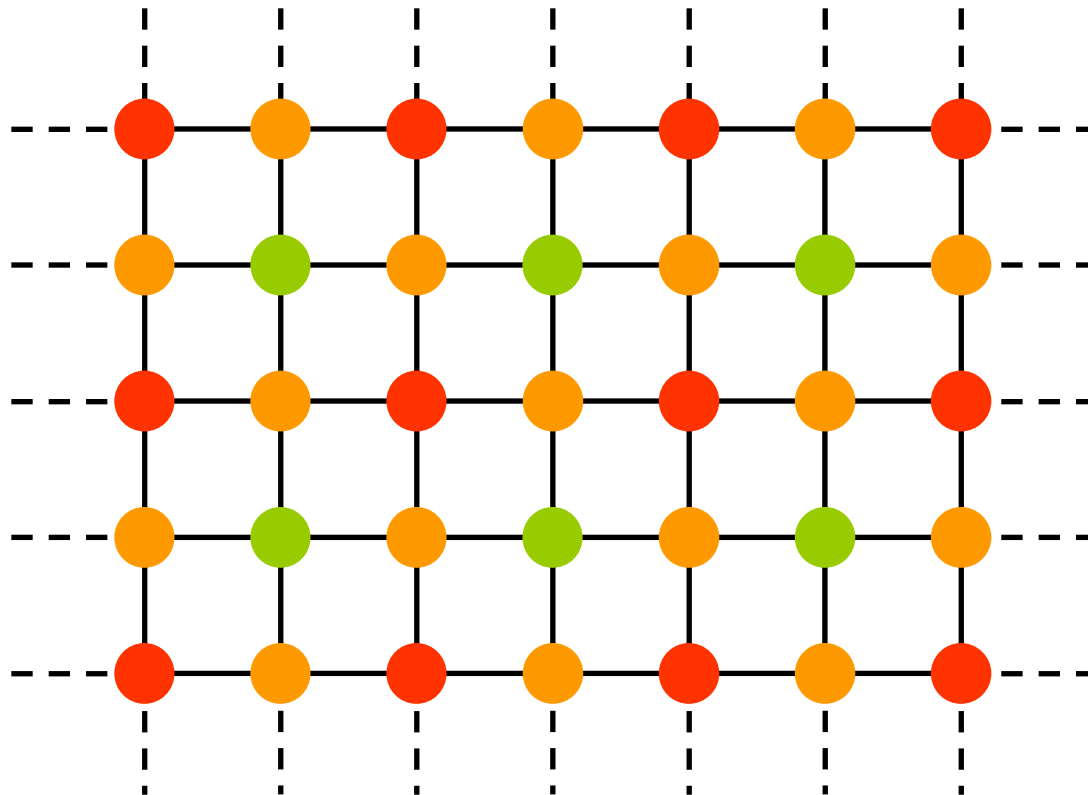
Les étapes 1 et 2 sont répétées sur tout le maillage initial

## Principe



## Masques spécifiques pour les bords

# Principe



Les nouveaux points sont maillés

- tout ceci correspond à **un** pas de subdivision
- à réitérer jusqu'à la surface limite

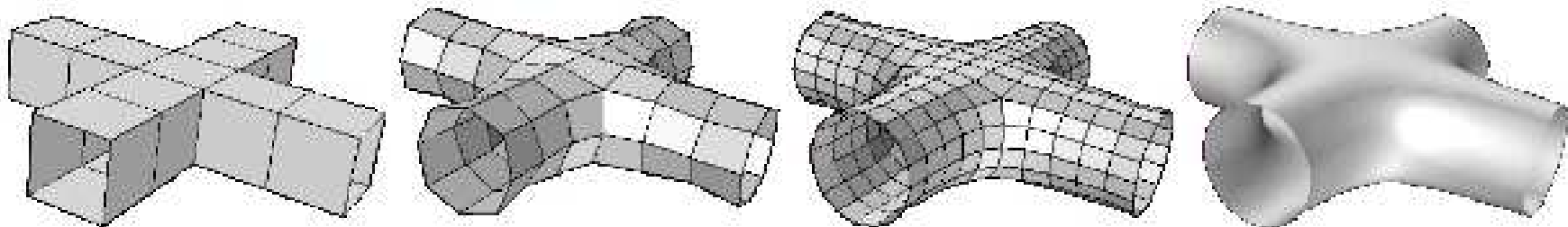
Catmull-Clark  
(grille rectangulaire)



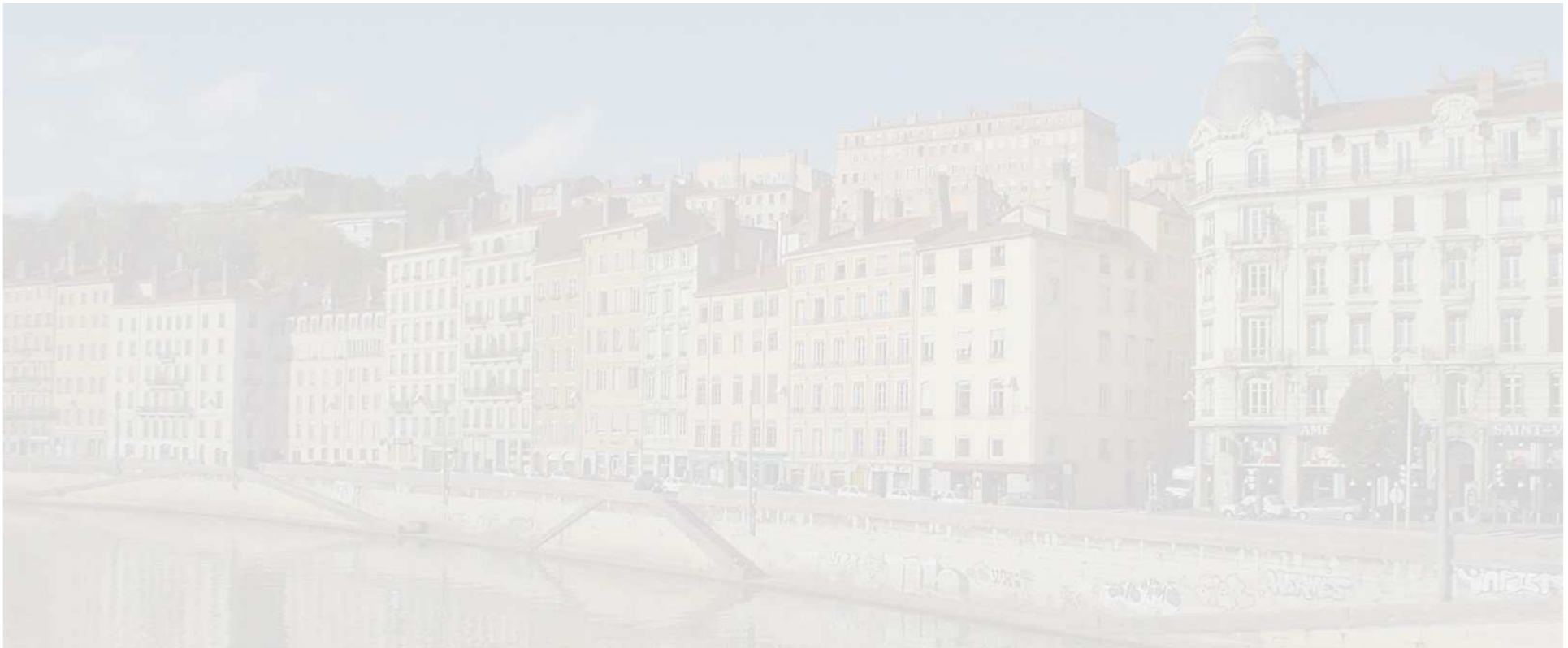


## Principe

- Relativement facile avec un maillage régulier fermé
- Autres masques pour
  - maillages quelconques
  - bords
- Disposer d'une structure de données permettant
  - "pour chaque sommet, arête, face...",
  - "couper une face en deux..."
  - ...



# Courbes de subdivision

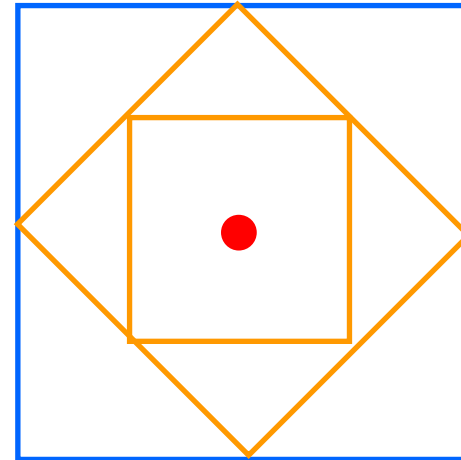


## Principe

- Courbe limite à partir d'un carré

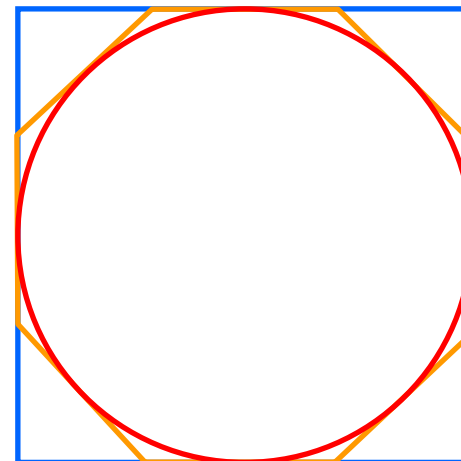
Chaque arête est coupée en 2

Courbe limite



Chaque arête est coupée en 3

Courbe limite



## B-Splines uniformes (rappel)

- Courbes B-Splines uniformes

$$P(t) = [t^n \ t^{n-1} \ \dots \ 1] M \begin{bmatrix} P_0 \\ \vdots \\ P_n \end{bmatrix} \quad (\text{cf. courbes paramétriques p. 28})$$

- Quadratique (n=2)

$$M = \begin{bmatrix} 1 & -2 & 2 \\ -2 & 2 & 0 \\ 1 & 0 & 0 \end{bmatrix}$$

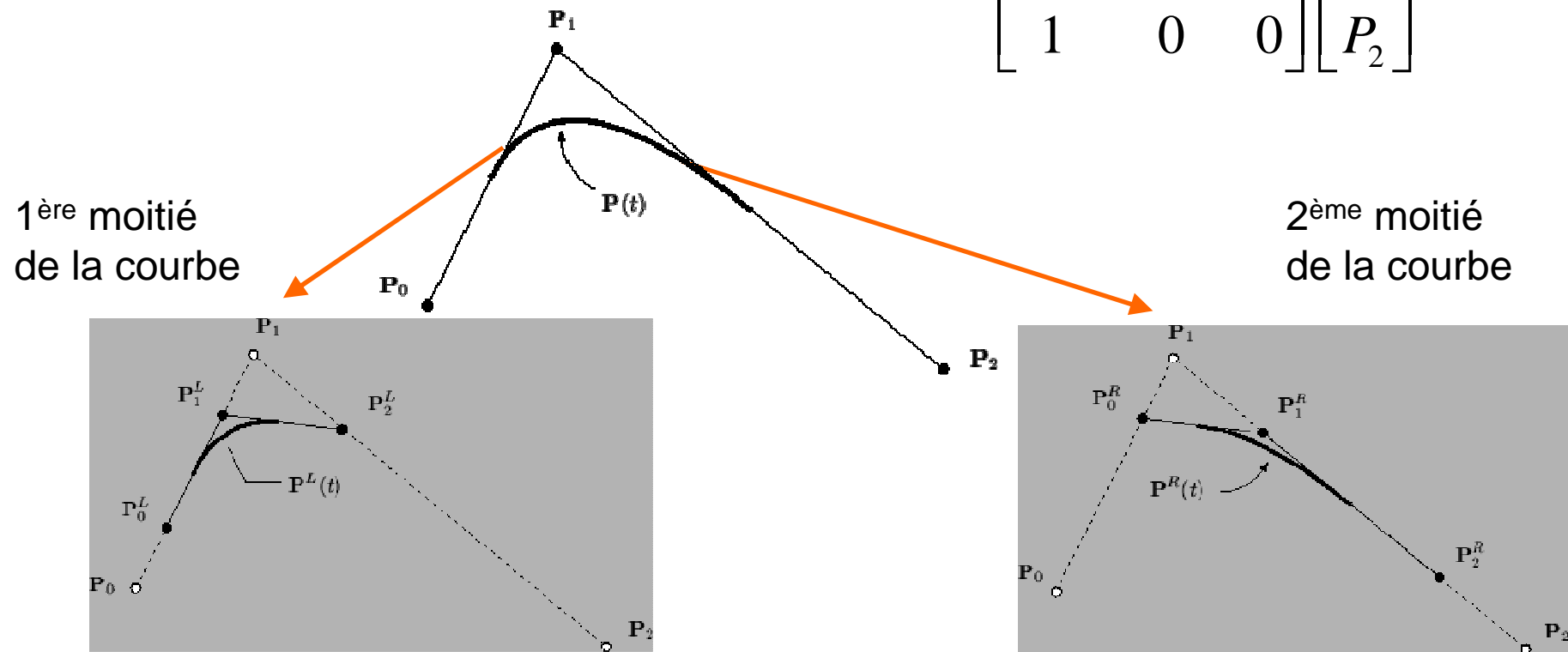
- Quintique (n=3)

$$M = \begin{bmatrix} -1 & 3 & -3 & 1 \\ 3 & -6 & 3 & 0 \\ -3 & 3 & 0 & 0 \\ 1 & 0 & 0 & 0 \end{bmatrix}$$

# B-Splines uniformes quadratiques

- Courbes B-Splines uniformes

$$P(t) = \begin{bmatrix} t^2 & t & 1 \end{bmatrix} \begin{bmatrix} 1 & -2 & 1 \\ -2 & 2 & 0 \\ 1 & 0 & 0 \end{bmatrix} \begin{bmatrix} P_0 \\ P_1 \\ P_2 \end{bmatrix}$$





# B-Splines uniformes quadratiques

- 1<sup>ère</sup> moitié de la courbe

$$P_{[0,1/2]}(t) = P\left(\frac{t}{2}\right) = \begin{bmatrix} \left(\frac{t}{2}\right)^2 & \frac{t}{2} & 1 \end{bmatrix} \begin{bmatrix} 1 & -2 & 1 \\ -2 & 2 & 0 \\ 1 & 0 & 0 \end{bmatrix} \begin{bmatrix} P_0 \\ P_1 \\ P_2 \end{bmatrix}$$

$$= [t^2 \ t \ 1] \begin{bmatrix} 1 & 0 & 0 \\ 0 & 1/2 & 0 \\ 0 & 0 & 1/4 \end{bmatrix} M \begin{bmatrix} P_0 \\ P_1 \\ P_2 \end{bmatrix}$$

$$\text{avec } M = \begin{bmatrix} 1 & -2 & 1 \\ -2 & 2 & 0 \\ 1 & 0 & 0 \end{bmatrix}$$

$$= [t^2 \ t \ 1] M M^{-1} \begin{bmatrix} 1 & 0 & 0 \\ 0 & 1/2 & 0 \\ 0 & 0 & 1/4 \end{bmatrix} M \begin{bmatrix} P_0 \\ P_1 \\ P_2 \end{bmatrix}$$

$$= [t^2 \ t \ 1] M \left( M^{-1} \begin{bmatrix} 1 & 0 & 0 \\ 0 & 1/2 & 0 \\ 0 & 0 & 1/4 \end{bmatrix} M \right) \begin{bmatrix} P_0 \\ P_1 \\ P_2 \end{bmatrix}$$

$$= [t^2 \ t \ 1] M \begin{bmatrix} Q_0 \\ Q_1 \\ Q_2 \end{bmatrix}$$

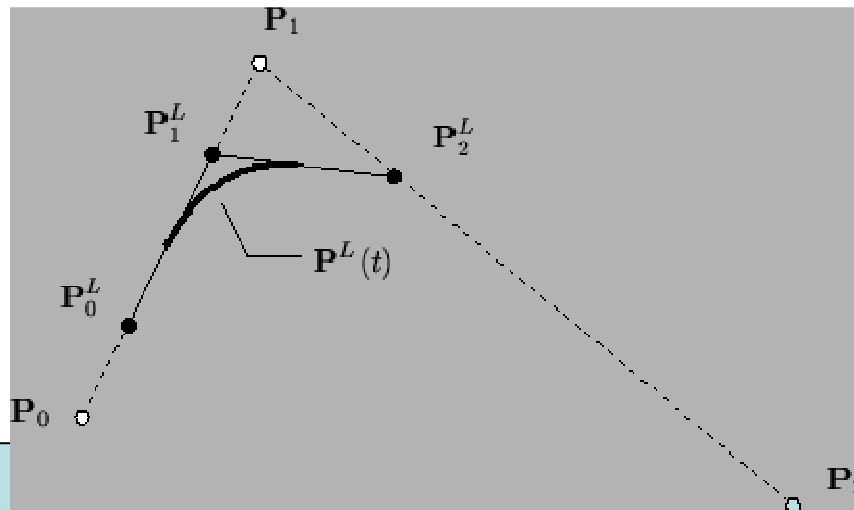
$$\text{avec } \begin{bmatrix} Q_0 \\ Q_1 \\ Q_2 \end{bmatrix} = \left( M^{-1} \begin{bmatrix} 1 & 0 & 0 \\ 0 & 1/2 & 0 \\ 0 & 0 & 1/4 \end{bmatrix} M \right) \begin{bmatrix} P_0 \\ P_1 \\ P_2 \end{bmatrix} = \frac{1}{4} \begin{bmatrix} 3 & 1 & 0 \\ 1 & 3 & 0 \\ 0 & 3 & 1 \end{bmatrix} \begin{bmatrix} P_0 \\ P_1 \\ P_2 \end{bmatrix} = \frac{1}{4} \begin{bmatrix} 3P_0 + P_1 \\ P_0 + 3P_1 \\ 3P_1 + P_2 \end{bmatrix}$$

# B-Splines uniformes quadratiques

- 1<sup>ère</sup> moitié de la courbe

$$P^L(t) = [t^2 \ t \ 1]M \begin{bmatrix} P_0^L \\ P_1^L \\ P_2^L \end{bmatrix}$$

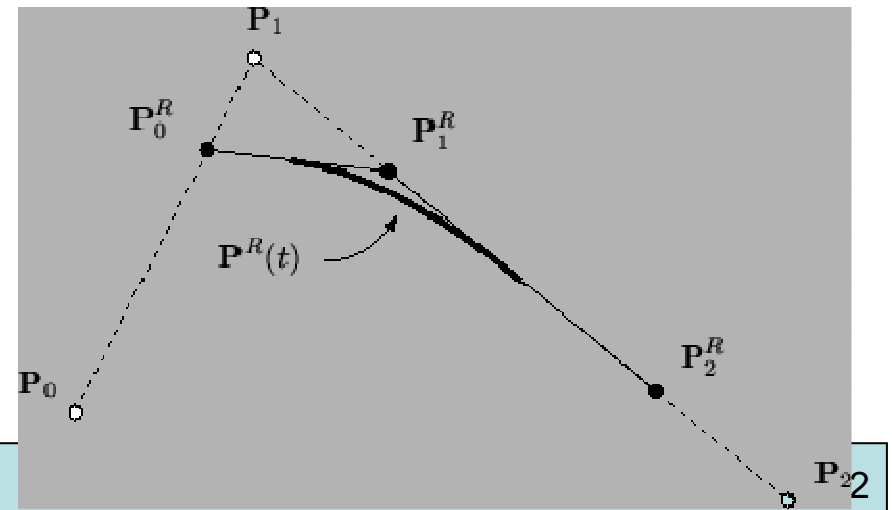
$$\begin{bmatrix} P_0^L \\ P_1^L \\ P_2^L \end{bmatrix} = \frac{1}{4} \begin{bmatrix} 3 & 1 & 0 \\ 1 & 3 & 0 \\ 0 & 3 & 1 \end{bmatrix} \begin{bmatrix} P_0 \\ P_1 \\ P_2 \end{bmatrix} = \frac{1}{4} \begin{bmatrix} 3P_0 + P_1 \\ P_0 + 3P_1 \\ 3P_1 + P_2 \end{bmatrix}$$



- 2<sup>ème</sup> moitié de la courbe

$$P^R(t) = [t^2 \ t \ 1]M \begin{bmatrix} P_0^R \\ P_1^R \\ P_2^R \end{bmatrix}$$

$$\begin{bmatrix} P_0^R \\ P_1^R \\ P_2^R \end{bmatrix} = \frac{1}{4} \begin{bmatrix} 1 & 3 & 0 \\ 0 & 3 & 1 \\ 0 & 1 & 3 \end{bmatrix} \begin{bmatrix} P_0 \\ P_1 \\ P_2 \end{bmatrix} = \frac{1}{4} \begin{bmatrix} P_0 + 3P_1 \\ 3P_1 + P_2 \\ P_1 + 3P_2 \end{bmatrix}$$



## B-Splines uniformes quadratiques

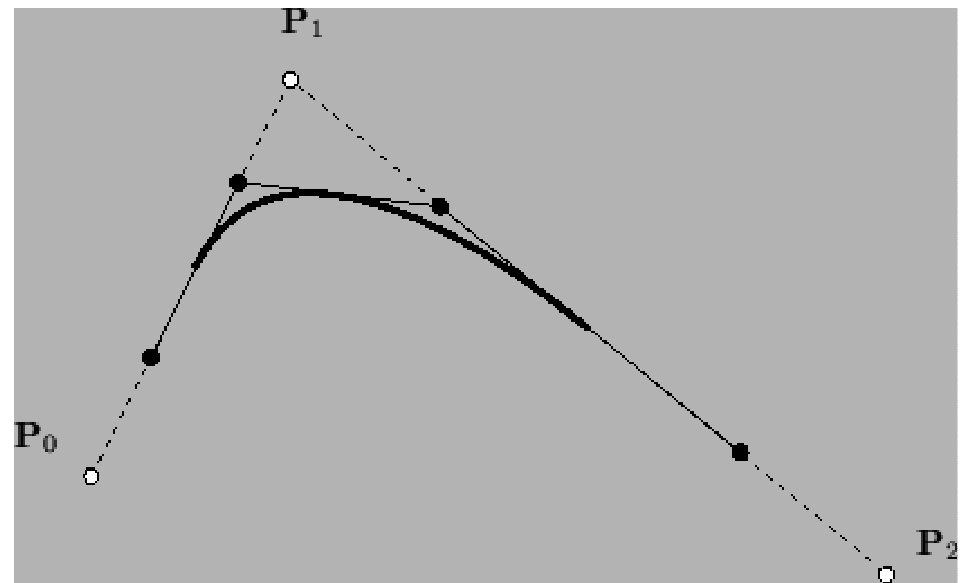
- On regroupe

$$\begin{bmatrix} P_0^L \\ P_1^L \\ P_2^L \end{bmatrix} = \frac{1}{4} \begin{bmatrix} 3 & 1 & 0 \\ 1 & 3 & 0 \\ 0 & 3 & 1 \end{bmatrix} \begin{bmatrix} P_0 \\ P_1 \\ P_2 \end{bmatrix}$$

$$\begin{bmatrix} P_0^R \\ P_1^R \\ P_2^R \end{bmatrix} = \frac{1}{4} \begin{bmatrix} 1 & 3 & 0 \\ 0 & 3 & 1 \\ 0 & 1 & 3 \end{bmatrix} \begin{bmatrix} P_0 \\ P_1 \\ P_2 \end{bmatrix}$$

→ algorithme de Chaikin

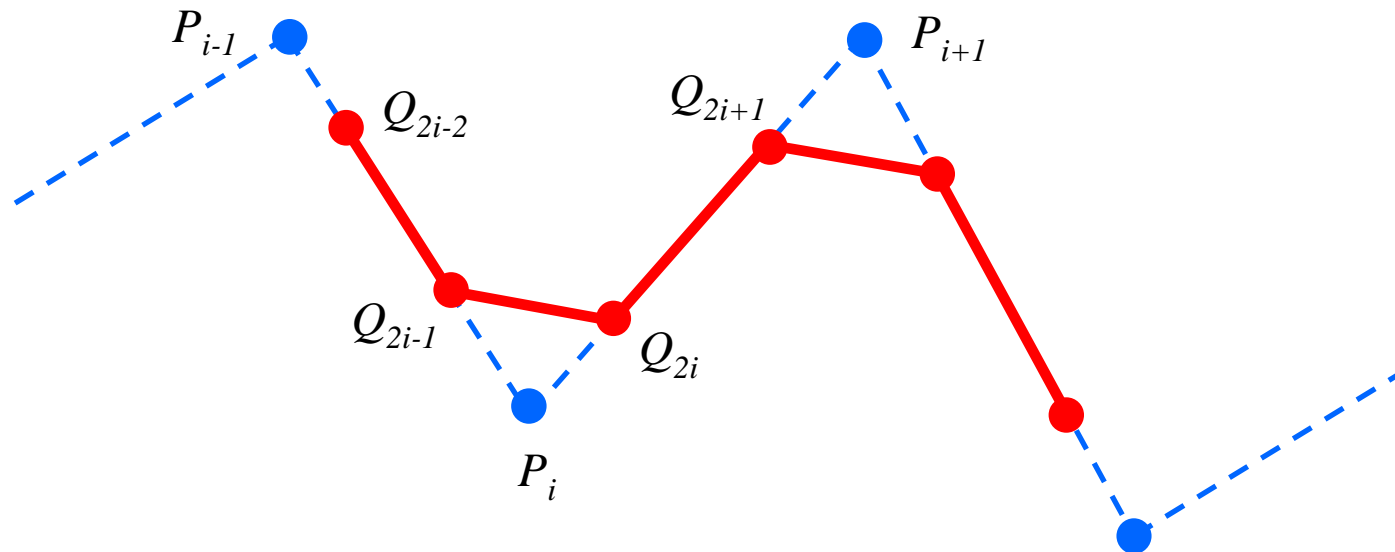
$$\begin{bmatrix} Q_0 \\ Q_1 \\ Q_2 \\ Q_3 \end{bmatrix} = \frac{1}{4} \begin{bmatrix} 3 & 1 & 0 \\ 1 & 3 & 0 \\ 0 & 3 & 1 \\ 0 & 1 & 3 \end{bmatrix} \begin{bmatrix} P_0 \\ P_1 \\ P_2 \end{bmatrix} = \frac{1}{4} \begin{bmatrix} 3P_0 + P_1 \\ P_0 + 3P_1 \\ 3P_1 + P_2 \\ P_1 + 3P_2 \end{bmatrix}$$



# Schéma de Chaikin

- Encore appelé corner-cutting

$$\begin{bmatrix} Q_0 \\ Q_1 \\ Q_2 \\ Q_3 \end{bmatrix} = \frac{1}{4} \begin{bmatrix} 3 & 1 & 0 \\ 1 & 3 & 0 \\ 0 & 3 & 1 \\ 0 & 1 & 3 \end{bmatrix} \begin{bmatrix} P_0 \\ P_1 \\ P_2 \end{bmatrix} = \frac{1}{4} \begin{bmatrix} 3P_0 + P_1 \\ P_0 + 3P_1 \\ 3P_1 + P_2 \\ P_1 + 3P_2 \end{bmatrix} \Rightarrow \begin{bmatrix} Q_{2i} \\ Q_{2i+1} \end{bmatrix} = \begin{bmatrix} \frac{3}{4}P_i + \frac{1}{4}P_{i+1} \\ \frac{1}{4}P_i + \frac{3}{4}P_{i+1} \end{bmatrix}$$

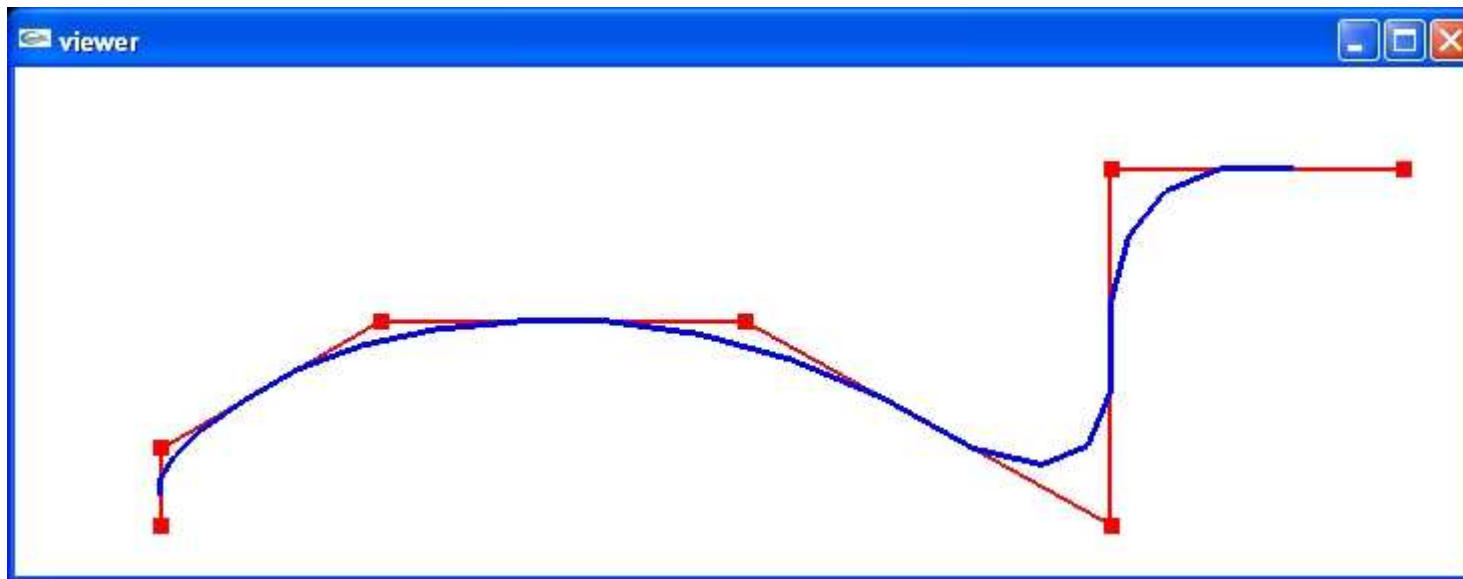


# Schéma de Chaikin

- Schéma régulier **approximant**

$$(P_i)_{0 \leq i \leq n-1} \rightarrow (Q_j)_{0 \leq j \leq 2n-3}$$

$$\text{Pour } 0 \leq i \leq n-2 \begin{cases} Q_{2i} = aP_i + (1-a)P_{i+1} \\ Q_{2i+1} = bP_i + (1-b)P_{i+1} \end{cases} \text{ avec } a = \frac{3}{4} \text{ et } b = \frac{1}{4}$$



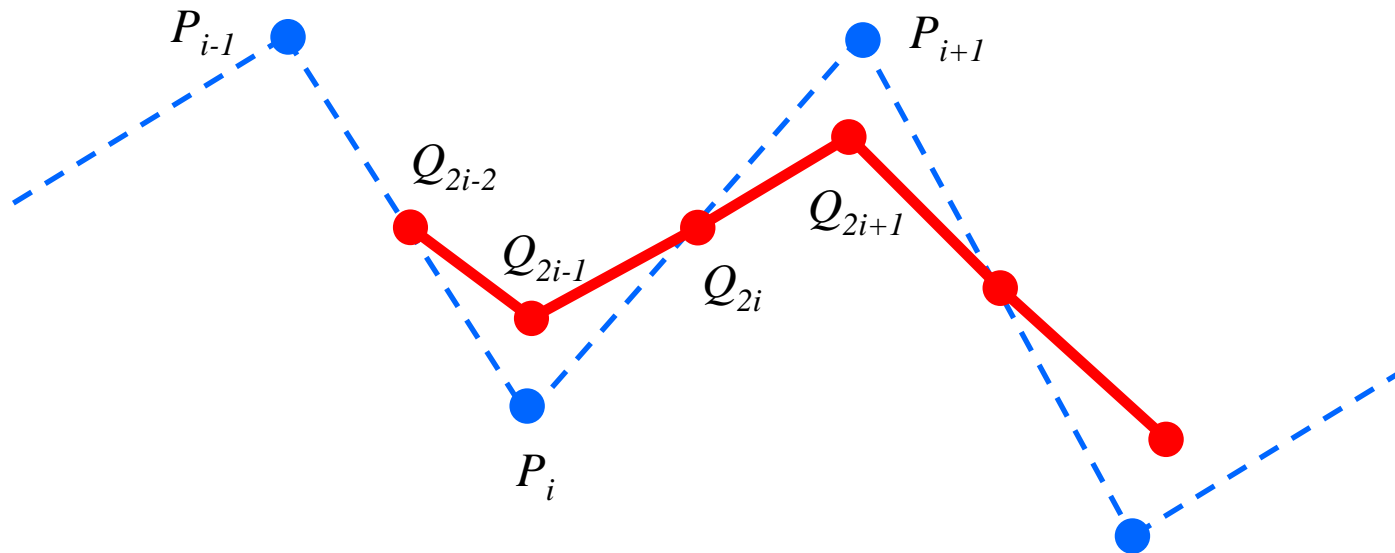


# Schéma de Catmull-Clark

- Schéma régulier **approximant**

$$(P_i)_{0 \leq i \leq n-1} \rightarrow (Q_j)_{0 \leq j \leq 2n-4}$$

$$\left\{ \begin{array}{l} \text{Pour } 0 \leq i \leq n-1 \quad Q_{2i} = \frac{1}{2}P_i + \frac{1}{2}P_{i+1} \\ \text{Pour } 0 \leq i \leq n-2 \quad Q_{2i+1} = \frac{1}{8}P_i + \frac{6}{8}P_{i+1} + \frac{1}{8}P_{i+2} \end{array} \right.$$

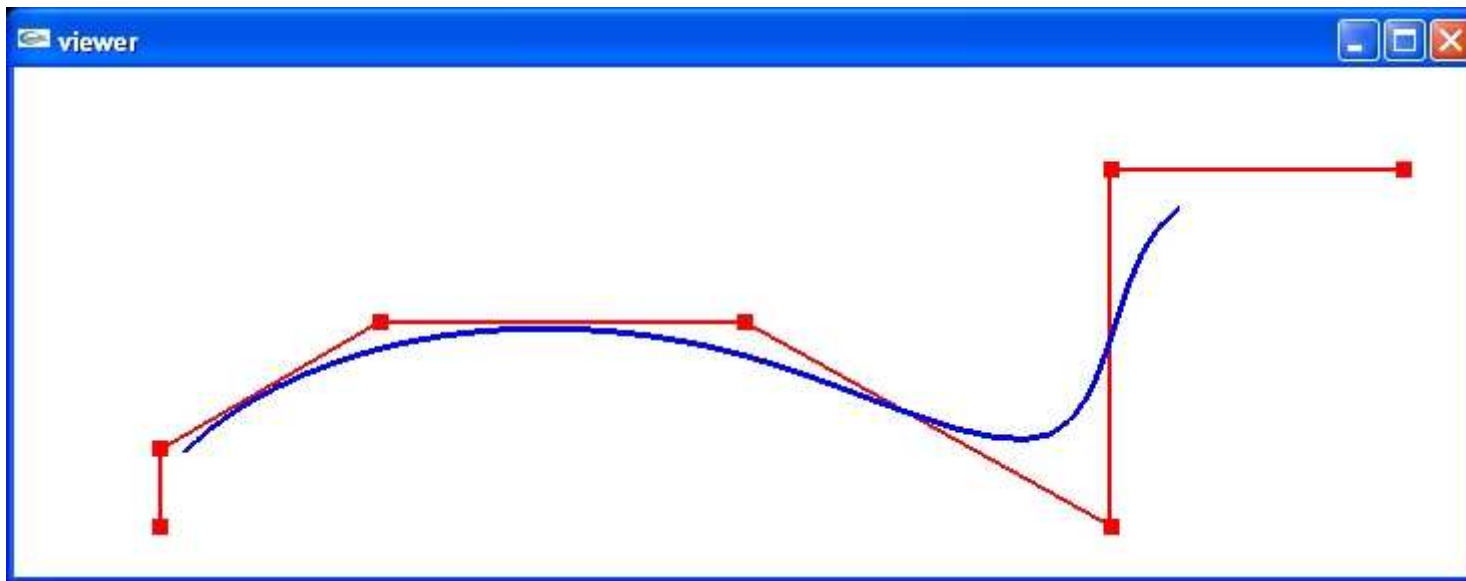


# Schéma de Catmull-Clark

- Schéma régulier **approximant**

$$(P_i)_{0 \leq i \leq n-1} \rightarrow (Q_j)_{0 \leq j \leq 2n-4}$$

$$\left\{ \begin{array}{l} \text{Pour } 0 \leq i \leq n-1 \quad Q_{2i} = \frac{1}{2}P_i + \frac{1}{2}P_{i+1} \\ \text{Pour } 0 \leq i \leq n-2 \quad Q_{2i+1} = \frac{1}{8}P_i + \frac{6}{8}P_{i+1} + \frac{1}{8}P_{i+2} \end{array} \right.$$



## Four points scheme

- Schéma régulier **interpolant**

$$(P_i)_{0 \leq i \leq n-1} \rightarrow (Q_j)_{0 \leq j \leq 2n-2}$$

$$\begin{cases} \text{Pour } 0 \leq i \leq n-1 & Q_{2i} = P_i \\ \text{Pour } 1 \leq i \leq n-3 & Q_{2i+1} = -\frac{1}{16}P_{i-1} + \frac{9}{16}P_i + \frac{9}{16}P_{i+1} - \frac{1}{16}P_{i+2} \end{cases}$$

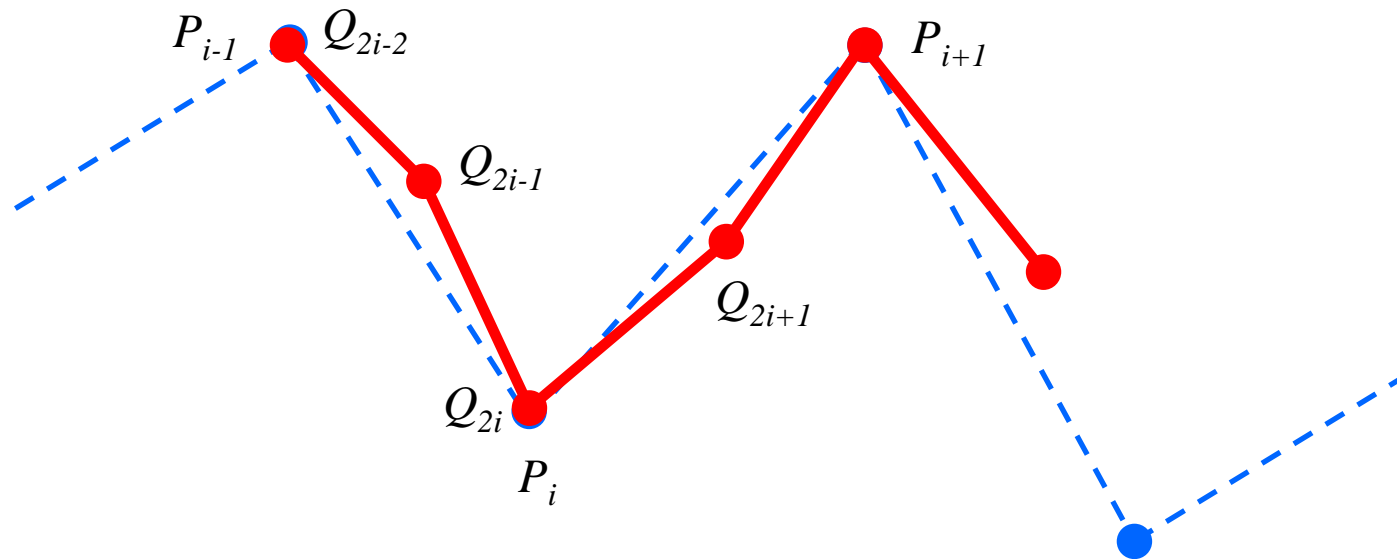
$$\text{Conditions aux bords} \begin{cases} Q_1 = \frac{3}{8}P_0 + \frac{6}{8}P_1 - \frac{1}{8}P_2 \\ Q_{2n-3} = -\frac{1}{8}P_{n-3} + \frac{6}{8}P_{n-2} + \frac{3}{8}P_{n-1} \end{cases}$$

## Four points scheme

- Schéma régulier **interpolant**

$$(P_i)_{0 \leq i \leq n-1} \rightarrow (Q_j)_{0 \leq j \leq 2n-2}$$

$$\begin{cases} \text{Pour } 0 \leq i \leq n-1 & Q_{2i} = P_i \\ \text{Pour } 1 \leq i \leq n-3 & Q_{2i+1} = -\frac{1}{16}P_{i-1} + \frac{9}{16}P_i + \frac{9}{16}P_{i+1} - \frac{1}{16}P_{i+2} \end{cases}$$

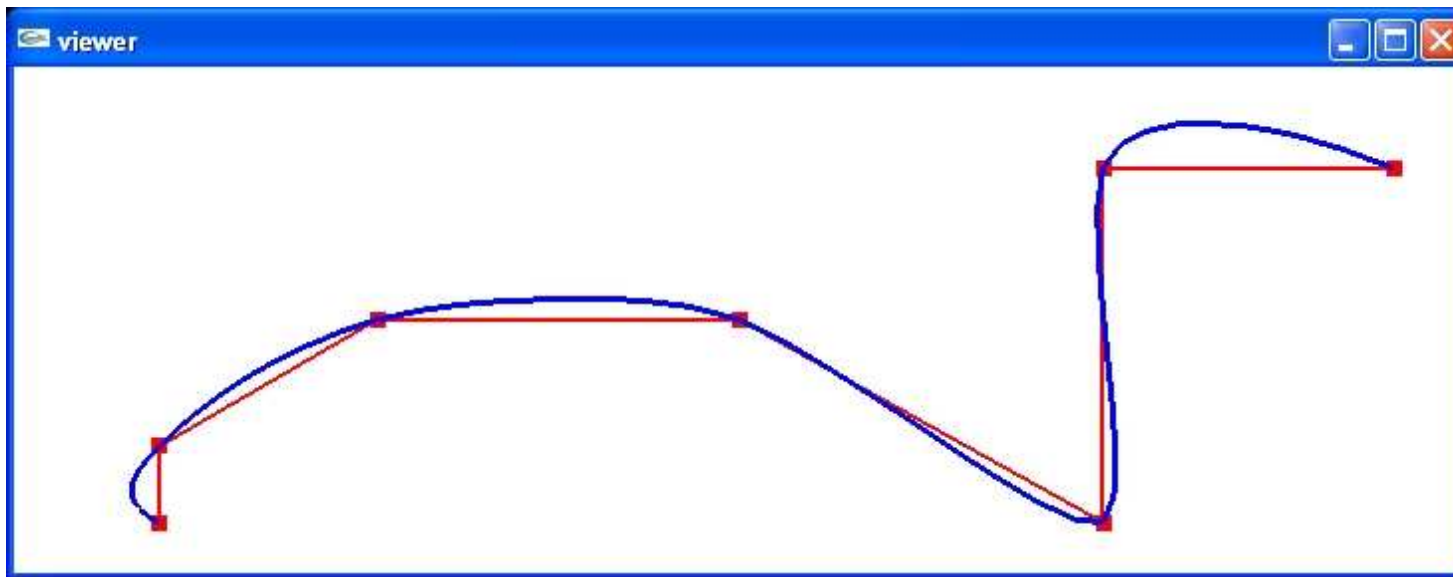


## Four points scheme

- Schéma régulier **interpolant**

$$(P_i)_{0 \leq i \leq n-1} \rightarrow (Q_j)_{0 \leq j \leq 2n-2}$$

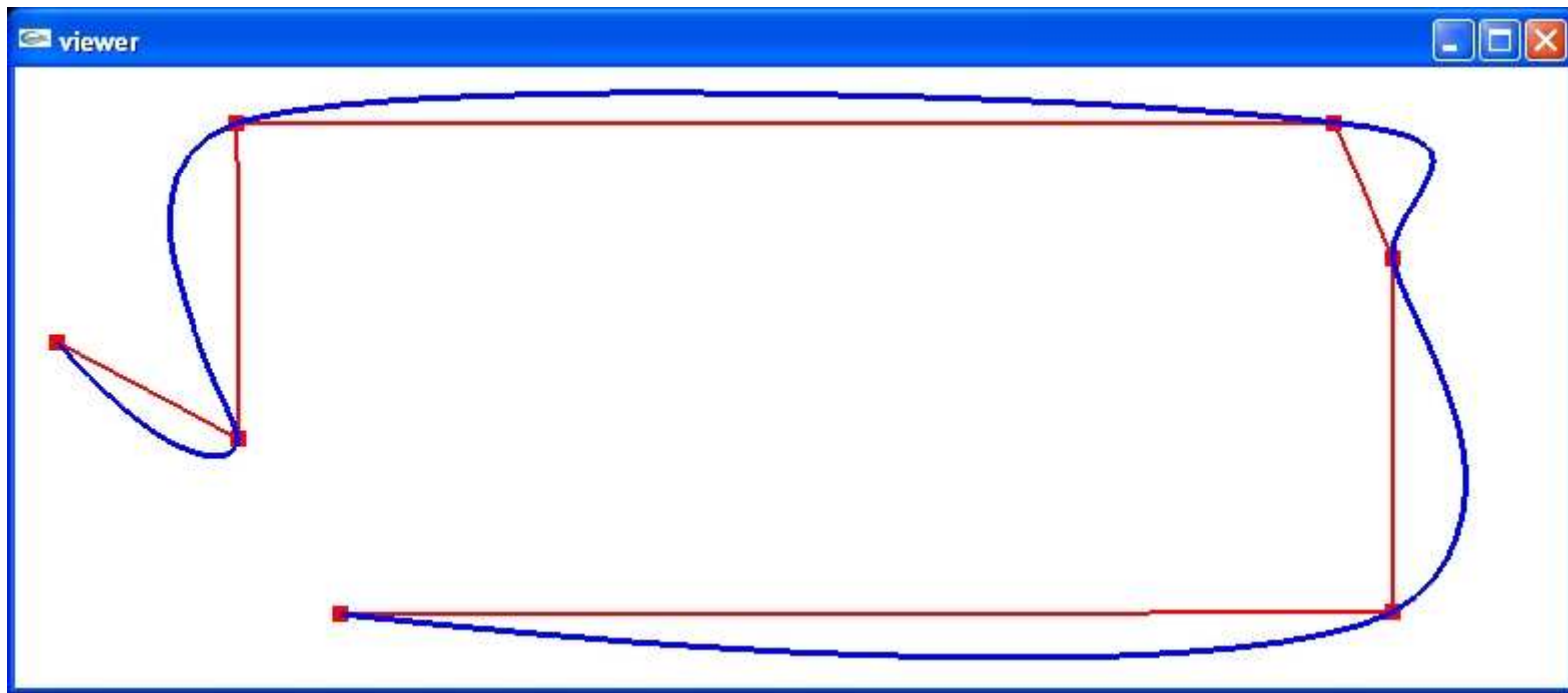
$$\begin{cases} \text{Pour } 0 \leq i \leq n-1 & Q_{2i} = P_i \\ \text{Pour } 1 \leq i \leq n-3 & Q_{2i+1} = -\frac{1}{16}P_{i-1} + \frac{9}{16}P_i + \frac{9}{16}P_{i+1} - \frac{1}{16}P_{i+2} \end{cases}$$





## Four points scheme

- Problèmes d'oscillation



La convexité du polygone de contrôle n'est pas toujours respectée dans la courbe limite

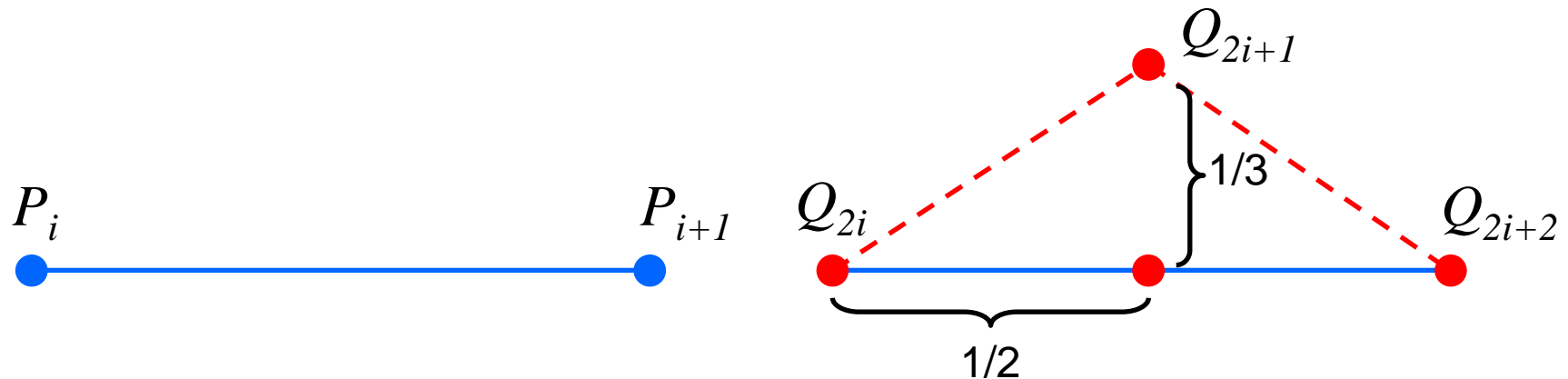
# Fractale chou fleur

- Schéma fractal **interpolant**

$$(P_i)_{0 \leq i \leq n-1} \rightarrow (Q_j)_{0 \leq j \leq 2n-2}$$

$$\begin{cases} \text{Pour } 0 \leq i \leq n-1 & Q_{2i} = P_i \\ \text{Pour } 0 \leq i \leq n-2 & Q_{2i+1} = \frac{1}{2}(P_i + P_{i+1}) + \frac{1}{3}N(P_{i+1} - P_i) \end{cases}$$

avec pour un point  $P = (x, y)$ ,  $N(P) = (-y, x)$



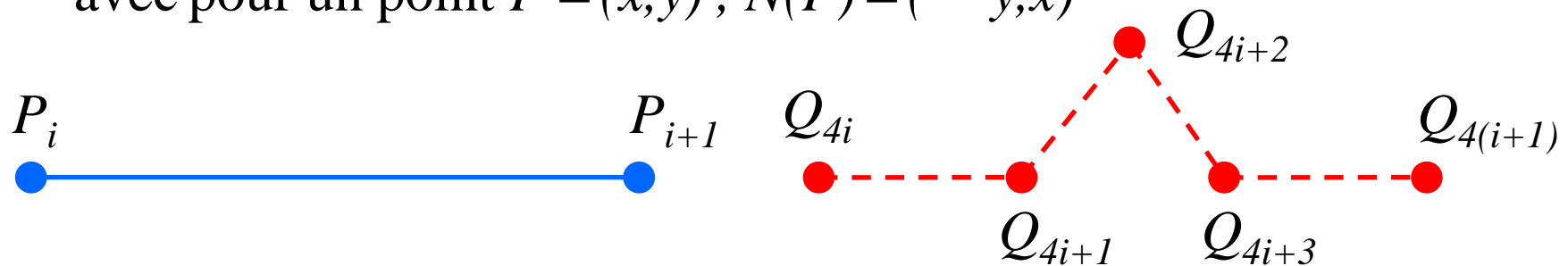
# Fractale flocon de Von Koch

- Schéma fractal **interpolant**

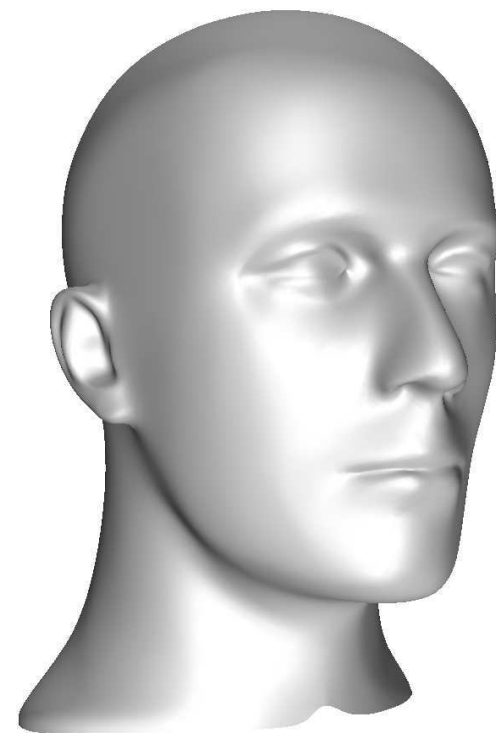
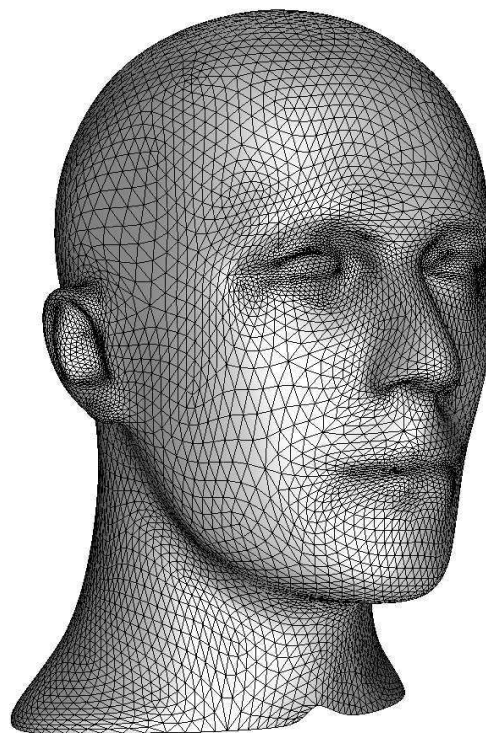
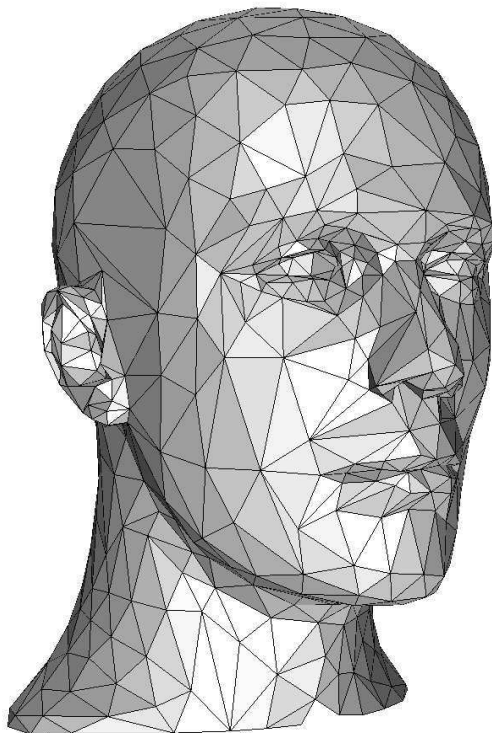
$$(P_i)_{0 \leq i \leq n-1} \rightarrow (Q_j)_{0 \leq j \leq 4n-4}$$

$$\left\{ \begin{array}{l} \text{Pour } 0 \leq i \leq n-1 \\ \text{Pour } 0 \leq i \leq n-2 \end{array} \right. \left\{ \begin{array}{l} Q_{4i} = P_i \\ Q_{4i+1} = \frac{1}{3}(2P_i + P_{i+1}) \\ Q_{4i+2} = \frac{1}{2}(P_i + P_{i+1}) + \frac{\sqrt{5}}{6}N(P_{i+1} - P_i) \\ Q_{4i+3} = \frac{1}{3}(P_i + 2P_{i+1}) \end{array} \right.$$

avec pour un point  $P = (x, y)$ ,  $N(P) = (-y, x)$



# Surfaces de subdivision



(Loop)

## Schémas principaux

Doo-Sabin

$\Leftrightarrow$  Surface B-Spline quadratique uniforme

(équivalent aux courbes de Chaikin)

approximant  
maillages de quadrilatères ou quelconques

Catmull-Clark

$\Leftrightarrow$  Surface B-Spline cubique uniforme

approximant  
maillages de quadrilatères ou quelconques

Loop

$\Leftrightarrow$  Surface Box-Spline quadrique uniforme

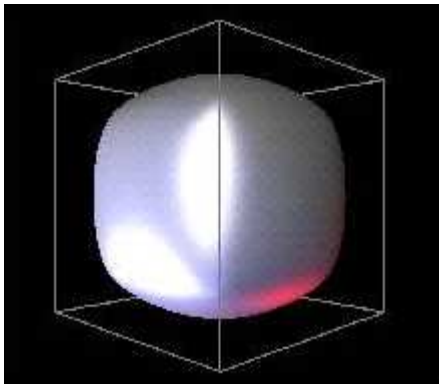
approximant  
maillages triangulaires

Butterfly

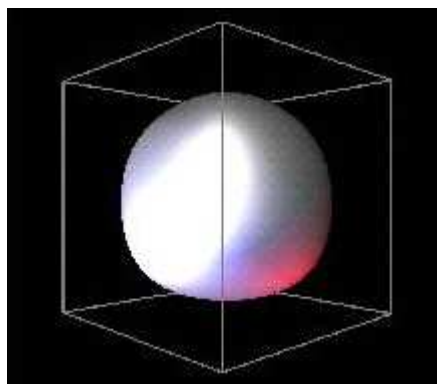
interpolant  
maillages triangulaires

## Schémas principaux

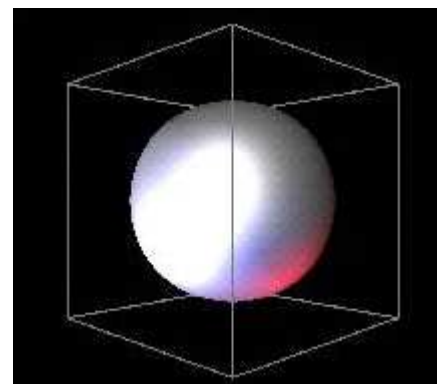
Doo-Sabin



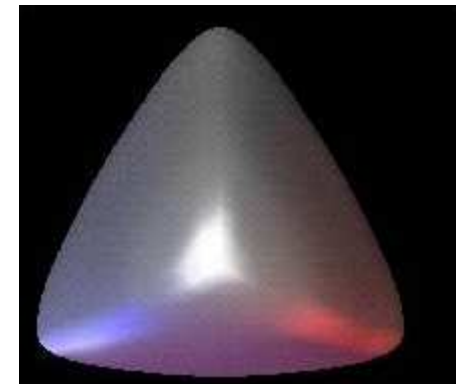
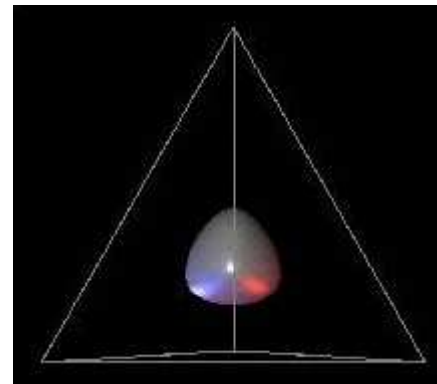
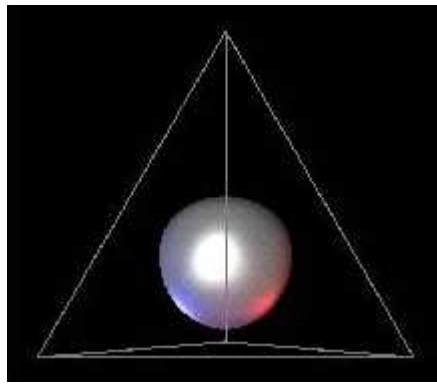
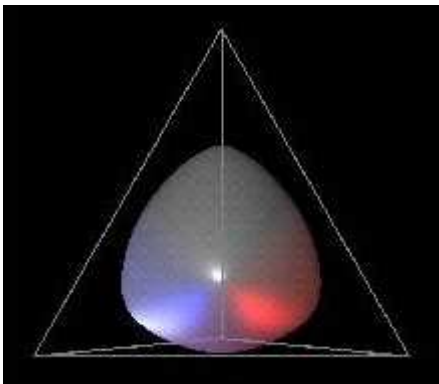
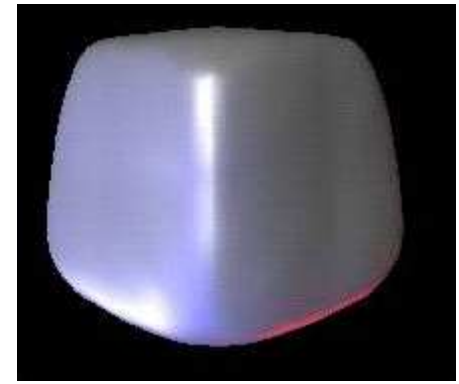
Catmull-Clark



Loop

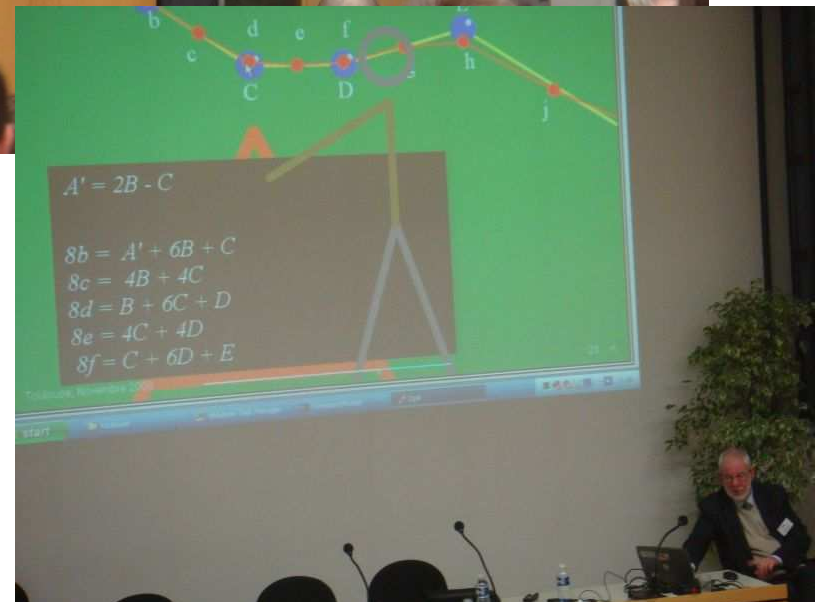


Butterfly



# Schéma de Doo-Sabin

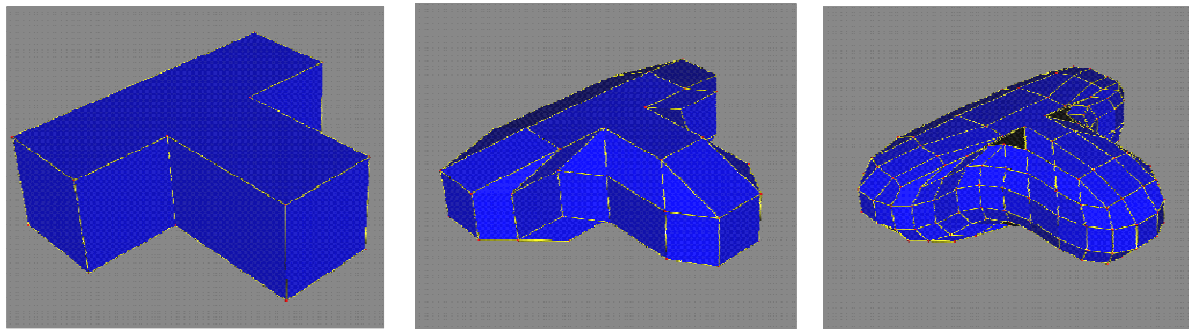
- Malcolm A. Sabin (11/2008)



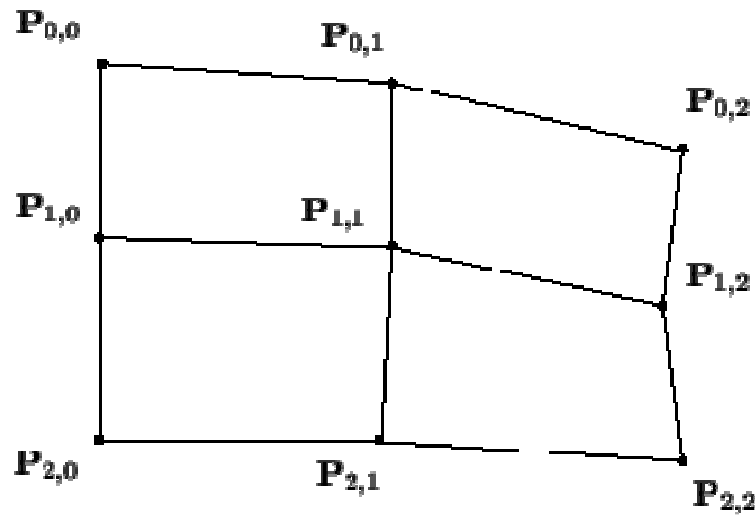


## Schéma de Doo-Sabin

- Principe du *corner cutting* (Chaikin)
- Schéma **approximant** (ne passe pas par les sommets originaux)
- Fonctionne sur des **maillages quelconques**
- Surface B-Spline Quadratique
- $C^1$  continue
- Après 1 subdivision :
  - tous les sommets sont de valence 4







## Doo-Sabin pour les maillages quadrangulaires réguliers

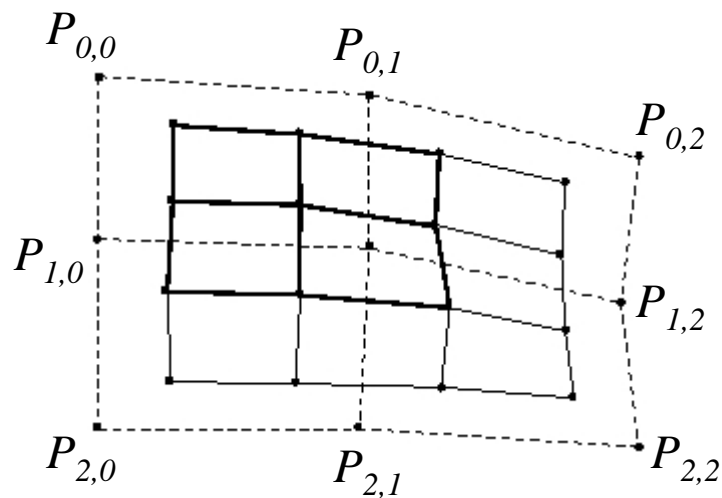
- Surfaces B-Splines uniformes quadriques

$$P(u, v) = \begin{bmatrix} u^2 & u & 1 \end{bmatrix} \begin{bmatrix} 1 & -2 & 1 \\ -2 & 2 & 0 \\ 1 & 0 & 0 \end{bmatrix} \begin{bmatrix} P_{0,0} & P_{0,1} & P_{0,2} \\ P_{1,0} & P_{1,1} & P_{1,2} \\ P_{2,0} & P_{2,1} & P_{2,2} \end{bmatrix} \begin{bmatrix} 1 & -2 & 1 \\ -2 & 2 & 0 \\ 1 & 0 & 0 \end{bmatrix}^T \begin{bmatrix} v^2 \\ v \\ 1 \end{bmatrix}$$

- 1<sup>er</sup> quart de la surface :

$$P_{[0,1/2]}(u, v) = P\left(\frac{u}{2}, \frac{v}{2}\right) = \begin{bmatrix} u^2 & u & 1 \end{bmatrix} \frac{1}{4} \begin{bmatrix} 3 & 1 & 0 \\ 1 & 3 & 0 \\ 0 & 3 & 1 \end{bmatrix} \begin{bmatrix} P_{0,0} & P_{0,1} & P_{0,2} \\ P_{1,0} & P_{1,1} & P_{1,2} \\ P_{2,0} & P_{2,1} & P_{2,2} \end{bmatrix} \frac{1}{4} \begin{bmatrix} 3 & 1 & 0 \\ 1 & 3 & 0 \\ 0 & 3 & 1 \end{bmatrix}^T \begin{bmatrix} v^2 \\ v \\ 1 \end{bmatrix}$$

## Doo-Sabin pour les maillages quadrangulaires réguliers



$$P'_{0,0} = \frac{1}{16}(9P_{0,0} + 3P_{0,1} + 3P_{1,0} + P_{1,1})$$

$$P'_{0,1} = \frac{1}{16}(3P_{0,0} + 9P_{0,1} + P_{1,0} + 3P_{1,1})$$

$$P'_{1,0} = \frac{1}{16}(3P_{0,0} + P_{0,1} + 9P_{1,0} + 3P_{1,1})$$

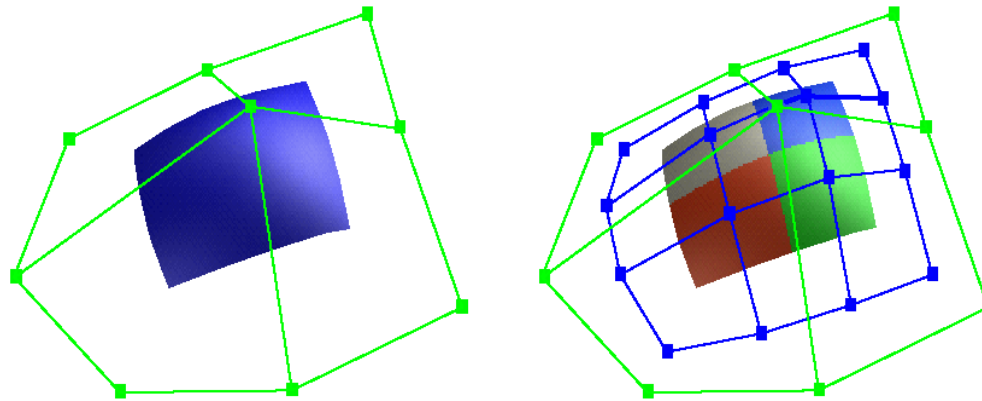
$$P'_{1,1} = \frac{1}{16}(P_{0,0} + 3P_{0,1} + 3P_{1,0} + 9P_{1,1})$$

- Pour chaque face
  - pour chaque sommet de cette face
    - créer un sommet à partir du masque

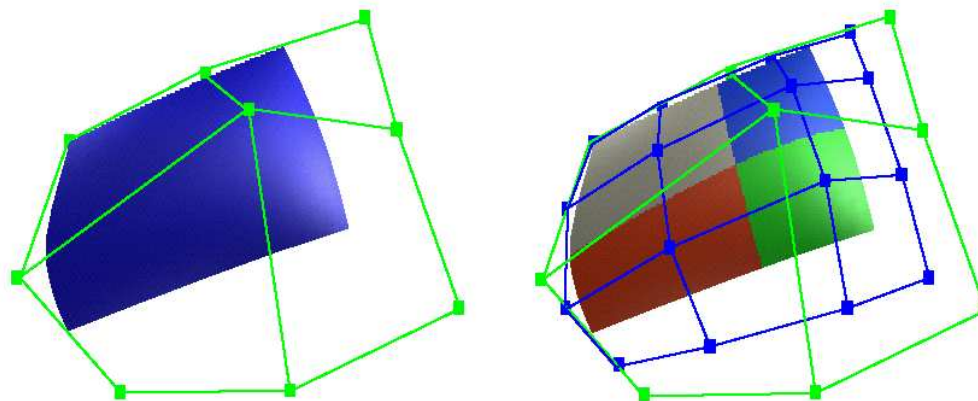
$$\begin{array}{cc} 9 & \text{---} & 3 \\ | & & | \\ 3 & \text{---} & 1 \end{array}$$

## Doo-Sabin pour les maillages quadrangulaires réguliers

- Après une subdivision



- Masques spécifiques pour les bords (pour "coller" au bord)



## Doo-Sabin pour les maillages quelconques

- Autre formulation

$$E_0 = \frac{1}{2}(P_{0,0} + P_{1,0})$$

$$E_1 = \frac{1}{2}(P_{0,0} + P_{0,1})$$

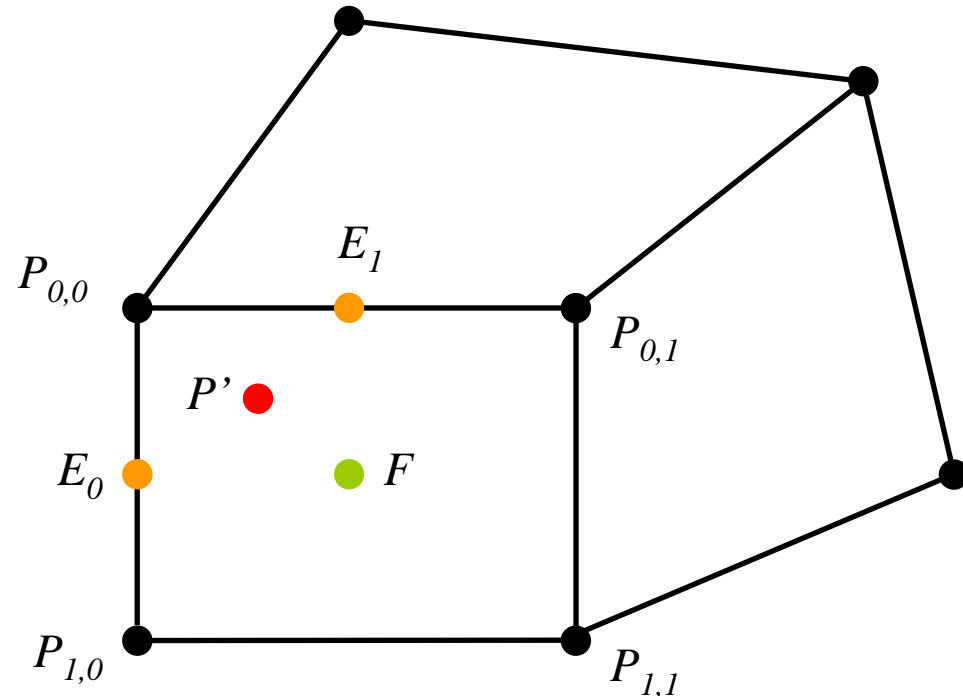
$$F = \frac{1}{4}(P_{0,0} + P_{0,1} + P_{1,0} + P_{1,1})$$

$$P' = \frac{1}{4}(P_{0,0} + E_0 + E_1 + F)$$

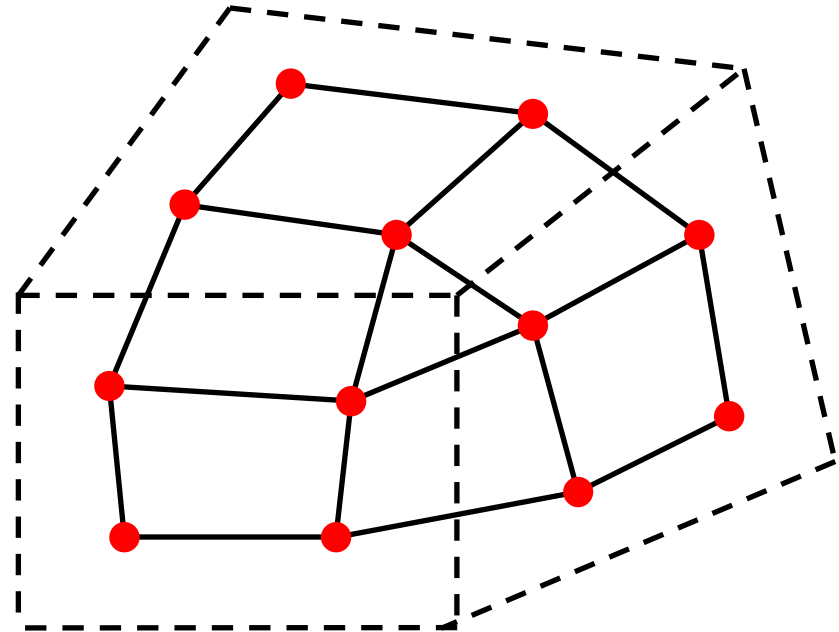
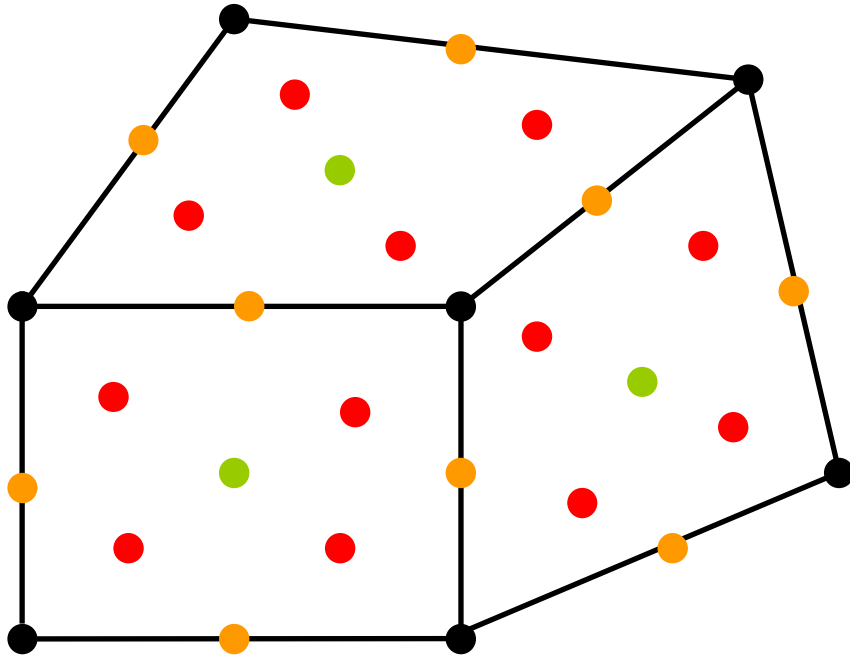
$$= \frac{1}{4}(P_{0,0} + \frac{1}{2}(P_{0,0} + P_{1,0}) + \frac{1}{2}(P_{0,0} + P_{0,1}) + \frac{1}{4}(P_{0,0} + P_{0,1} + P_{1,0} + P_{1,1}))$$

$$= \frac{1}{4}(\frac{4}{4}P_{0,0} + \frac{2}{4}P_{0,0} + \frac{2}{4}P_{1,0} + \frac{2}{4}P_{0,0} + \frac{2}{4}P_{0,1} + \frac{1}{4}P_{0,0} + \frac{1}{4}P_{0,1} + \frac{1}{4}P_{1,0} + \frac{1}{4}P_{1,1})$$

$$= \frac{1}{16}(9P_{0,0} + 3P_{1,0} + 3P_{0,1} + P_{1,1})$$



## Doo-Sabin pour les maillages quelconques



Un *edge-point* est le milieu d'une arête

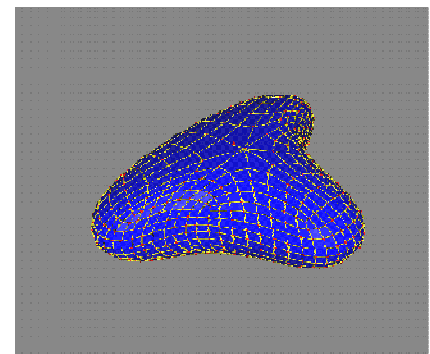
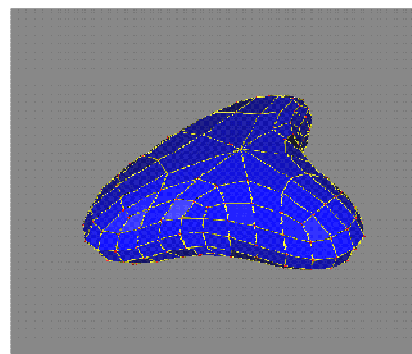
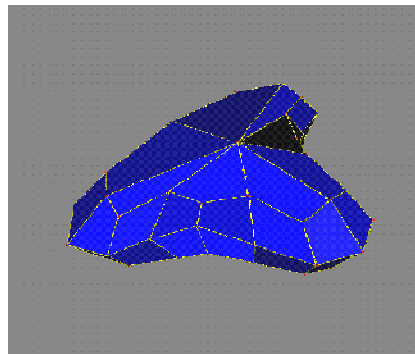
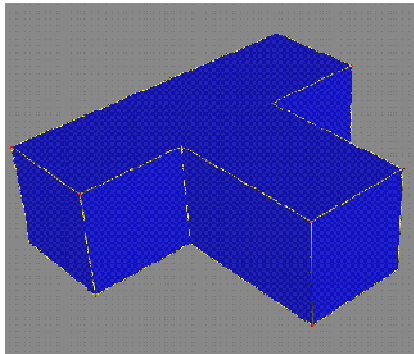
Un *face-point* est le centre d'une face

Un **nouveau point** est la moyenne

- d'un ancien point
- d'un *face-point* d'une face incidente à l'ancien point
- des deux *edge-points* incidents à l'ancien point et à la face

## Schéma de Catmull-Clark

- Schéma **approximant**
- Fonctionne sur les **maillages quadrangulaires ou quelconques**
- Surface B-Spline cubique
- $G^1$  continue (sauf points extraordinaires)
- Après une subdivision :
  - **toutes les faces sont des quadrilatères**



# Schéma de Catmull-Clark



Face

$$f = \frac{1}{n} \sum_1^n v_i$$



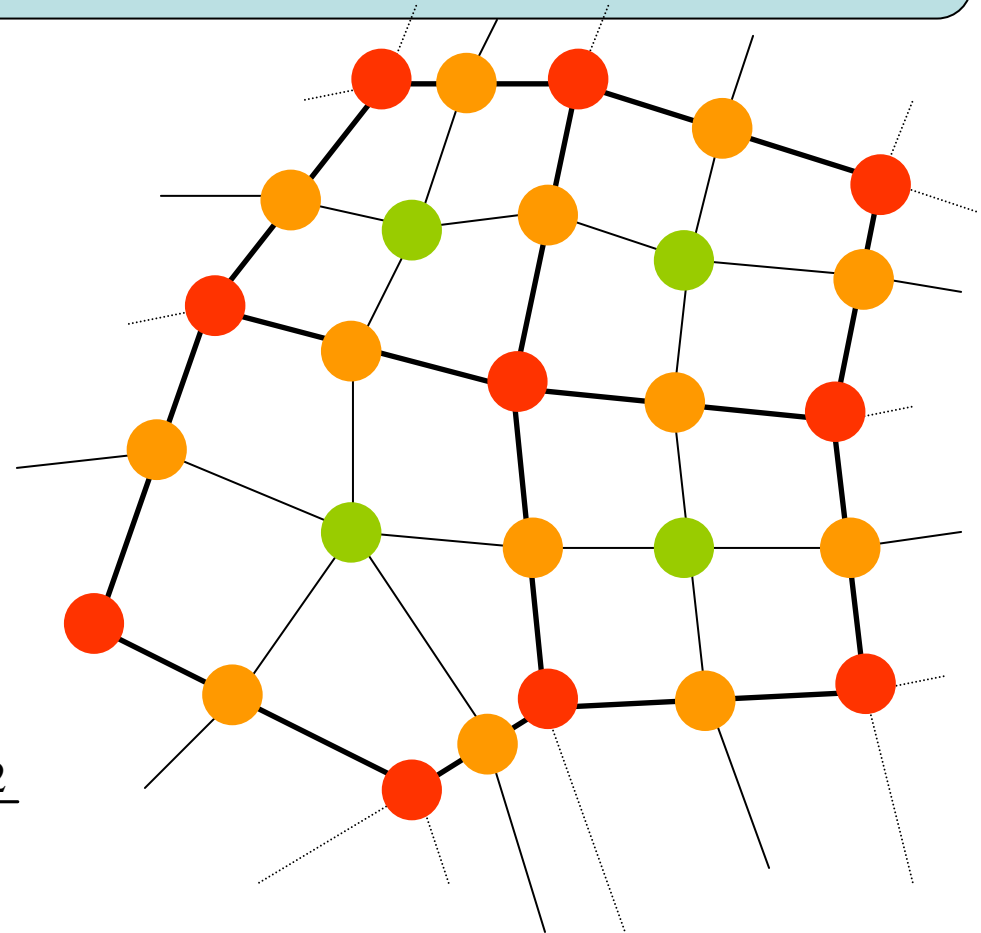
Arête

$$e = \frac{v_1 + v_2 + f_1 + f_2}{4}$$

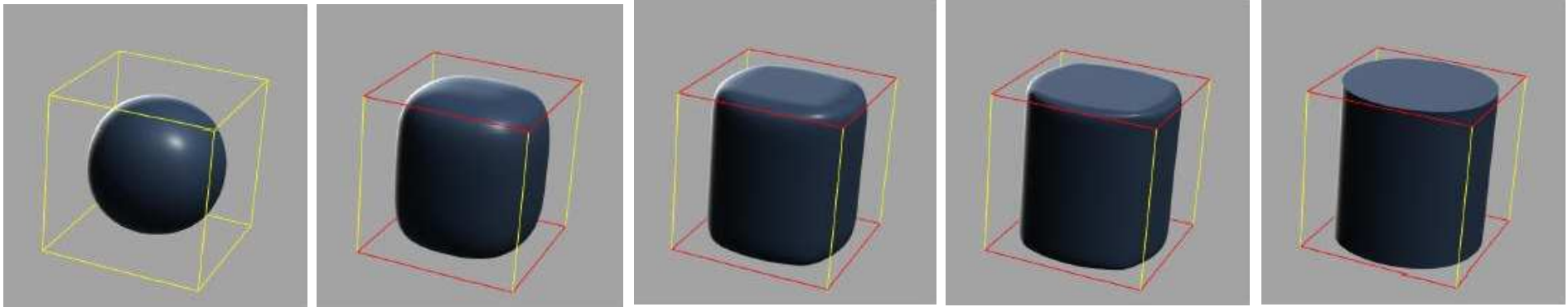


Sommet

$$v_{i+1} = \frac{n-2}{n} v_i + \frac{1}{n^2} \sum_j e_j + \frac{1}{n^2} \sum_j f_j$$



## Catmull-Clark Gestion des arêtes vives



1. Marquer chaque arête comme **vive** ou **non vive**

- $n = 0 \rightarrow$  **non vive**
- $n > 0 \rightarrow$  **vive**

Pendant la subdivision :

2. Si une arête est **vive**, alors on utilise les nouvelles règles.  
Les nouvelles arêtes créées sont associées à  $n-1$ .
3. Si une arête est **non vive**, alors on utilise les règles de subdivision normales.



# Catmull-Clark Gestion des arêtes vives

● Face (inchangé)  $f = \frac{1}{n} \sum_1^n v_i$

● Arête  $e = \frac{v_1 + v_2}{2}$

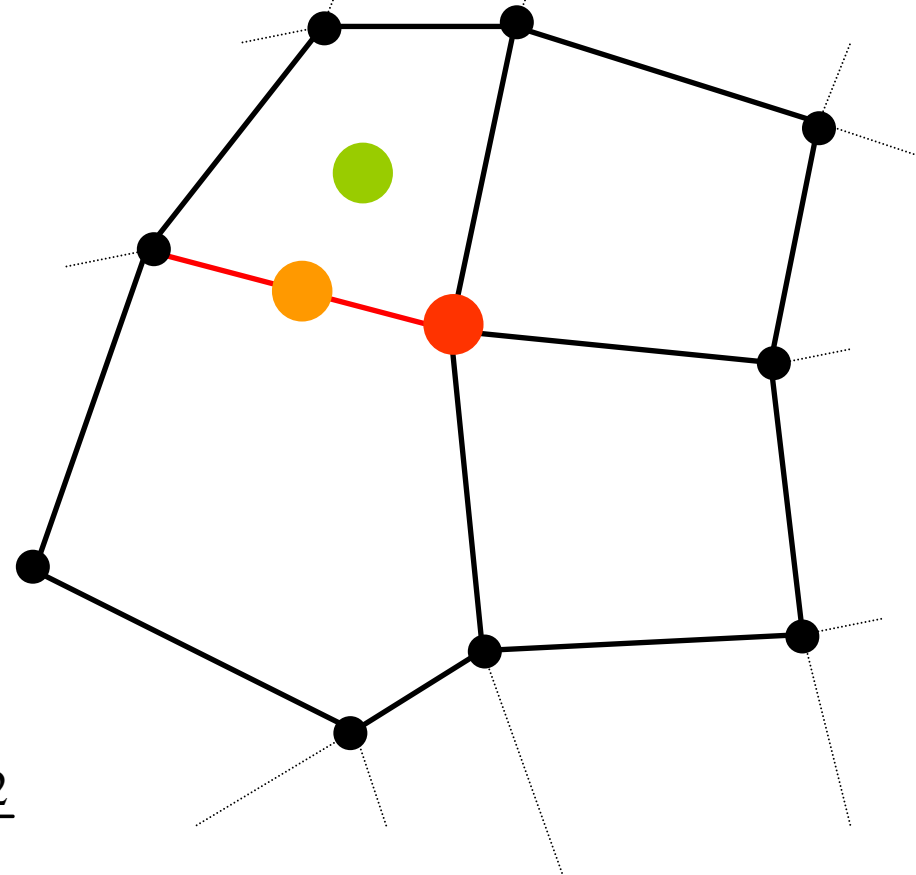
● Sommet

Nombre d'arêtes vives adjacentes

pointe **>2**  $v_{i+1} = v_i$

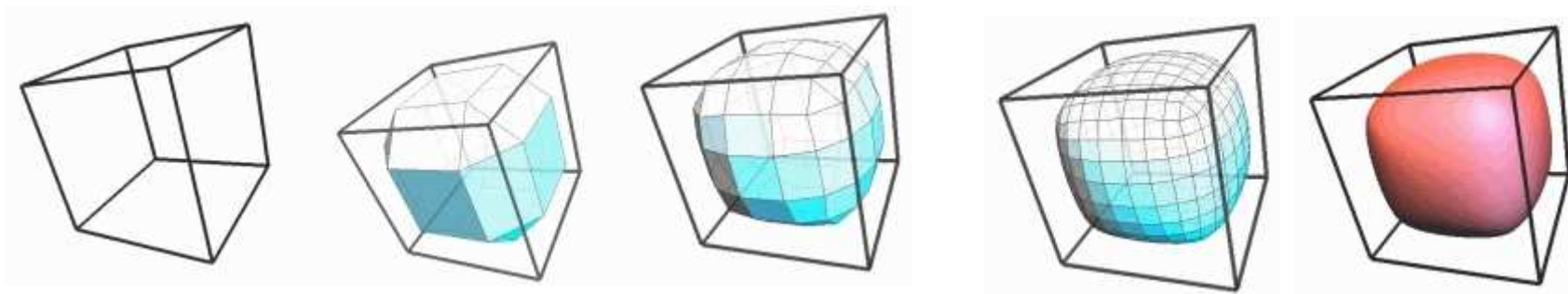
angle **=2**  $v_{i+1} = \frac{e_1 + 6v_i + e_2}{8}$

coin **0,1**  $v_{i+1} = \frac{n-2}{n} v_i + \frac{1}{n^2} \sum_j e_j + \frac{1}{n^2} \sum_j f_j$

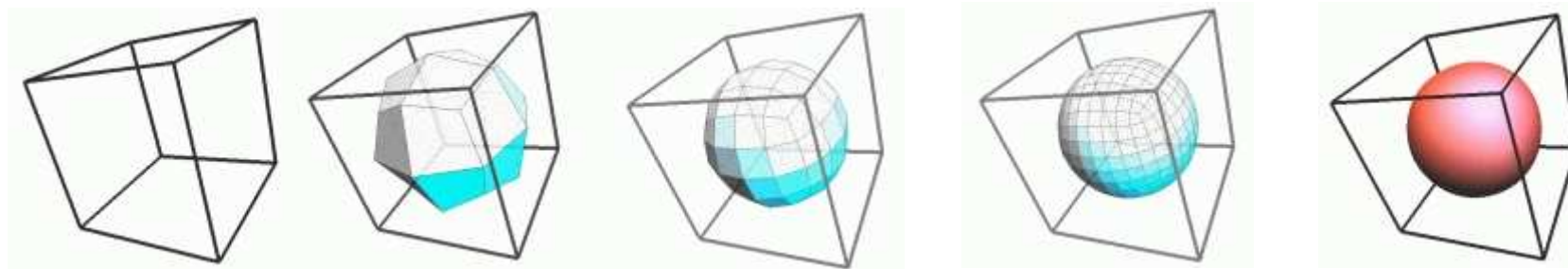


## Doo-Sabin vs Catmull-Clark

### Doo-Sabin

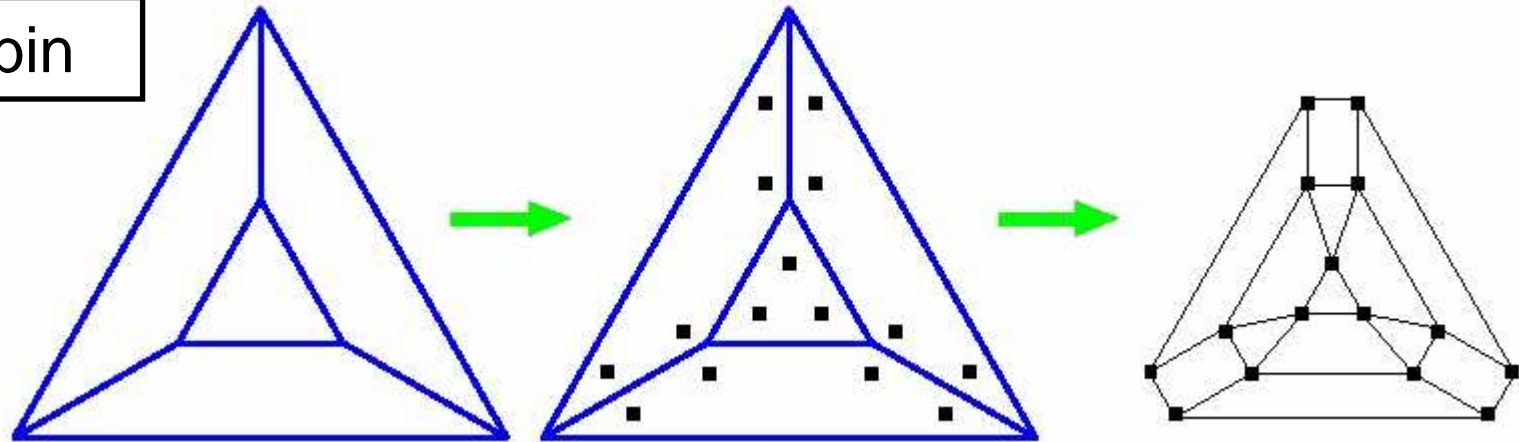


### Catmull-Clark

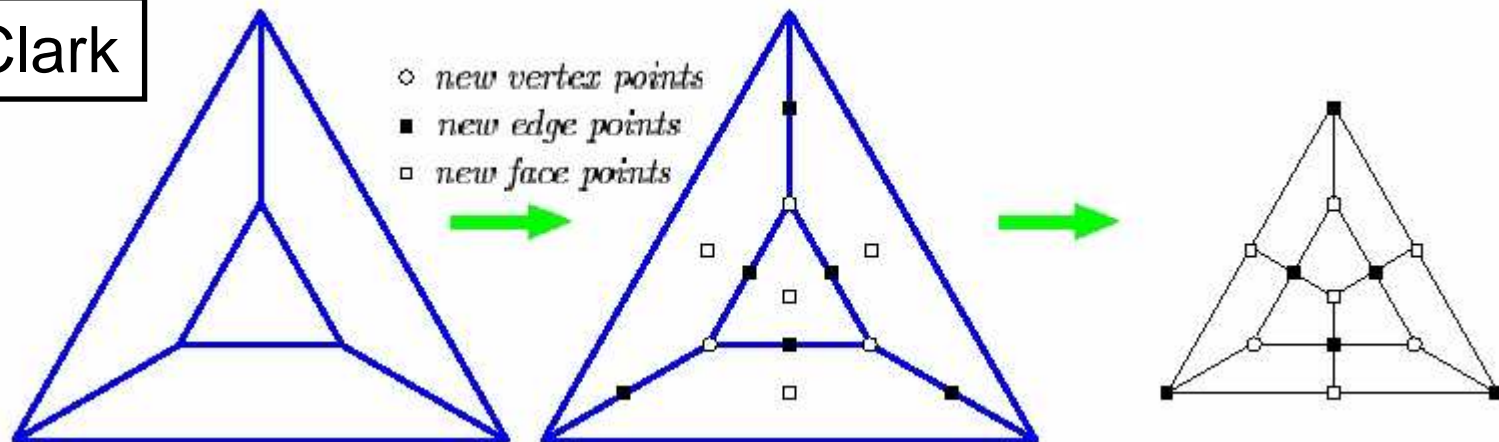


## Doo-Sabin vs Catmull-Clark

Doo-Sabin

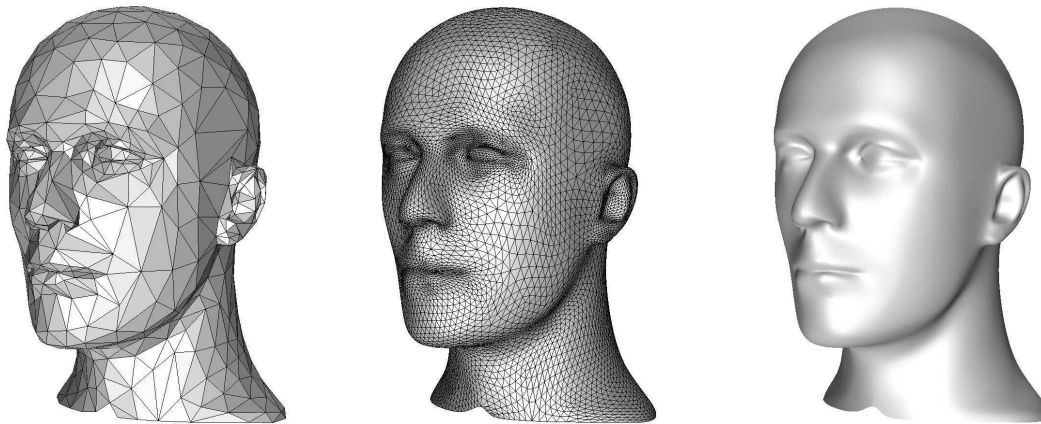


Catmull-Clark

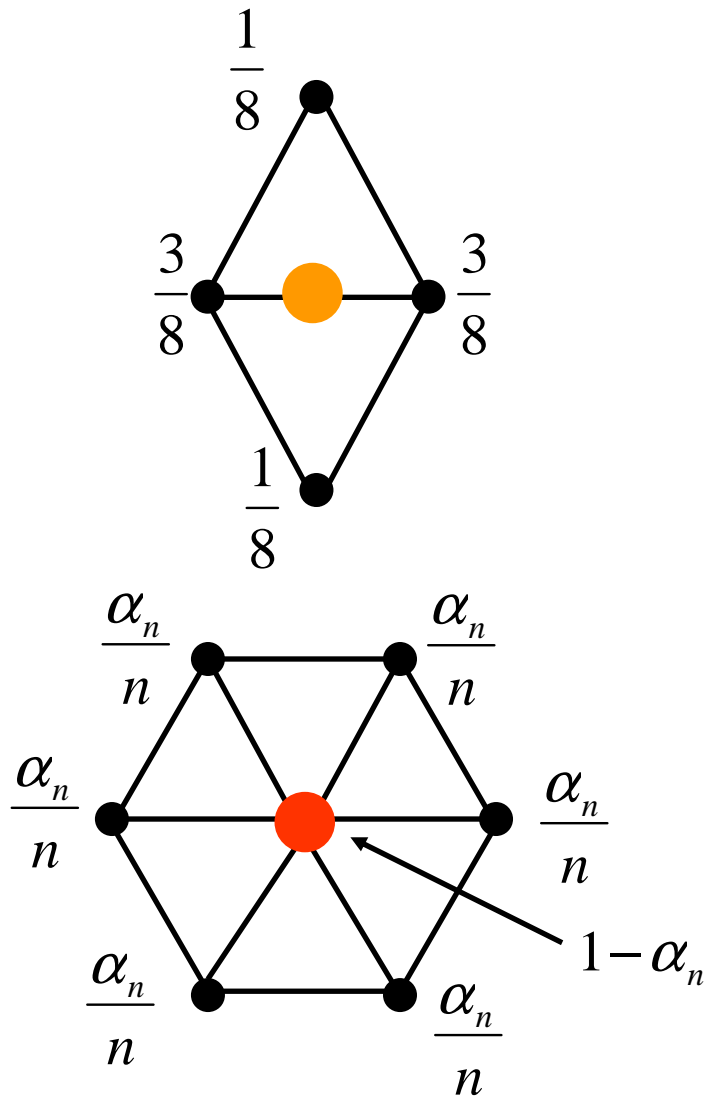


## Schéma de Loop

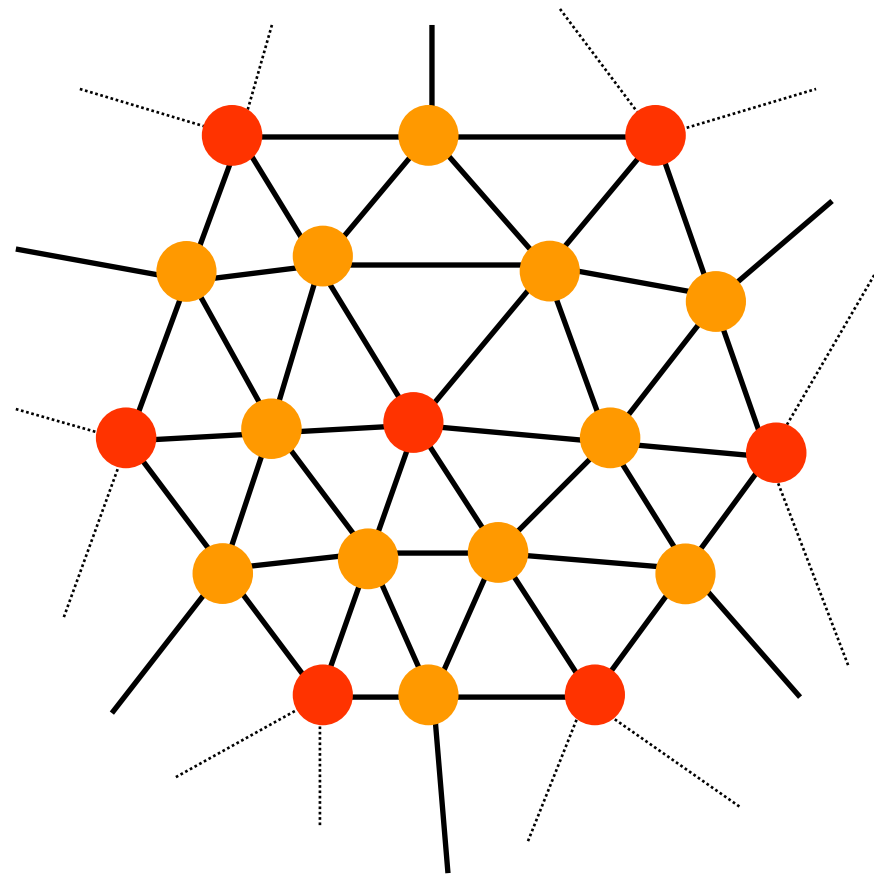
- Schéma **approximant**
- Fonctionne sur **maillages triangulaires quelconques**
- Surface Box-Spline quadrique
- $G^1$  continuité, sauf aux points extraordinaires
- Simple à mettre on œuvre
  - 2 masques pour les sommets internes
  - 2 masques pour les sommets du bord



# Loop Masques de subdivision



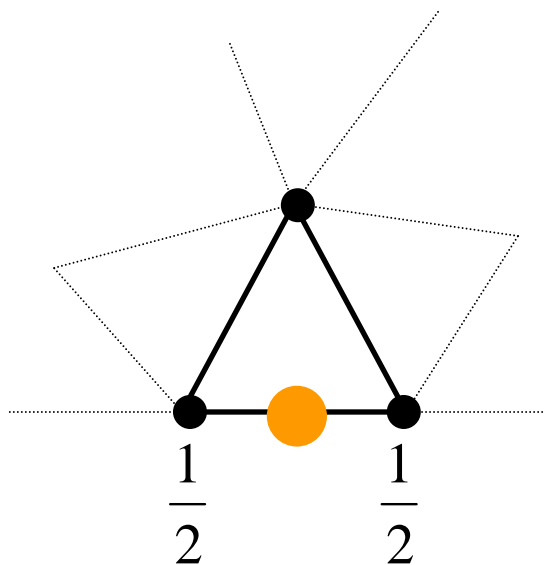
$$\alpha_n = \frac{1}{64} \left( 40 - \left( 3 + 2 \cos \left( \frac{2\pi}{n} \right) \right)^2 \right)$$



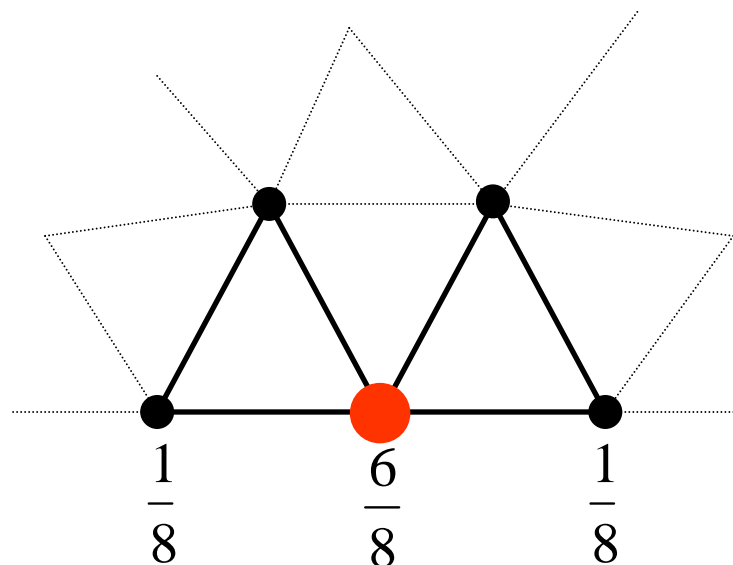
# Loop

## Masques pour les bords

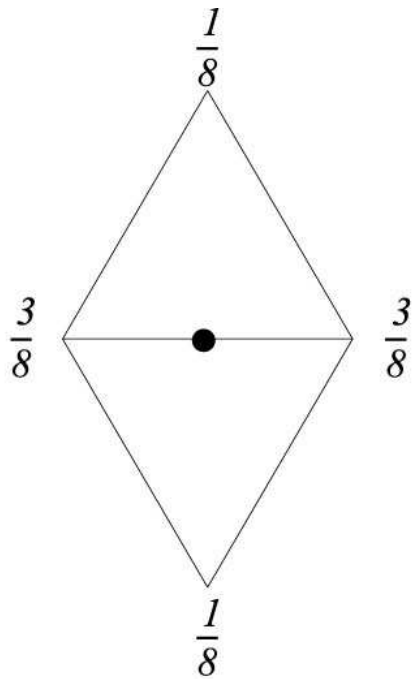
Loi d'arête



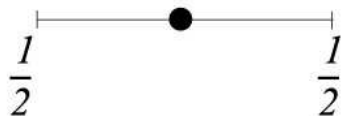
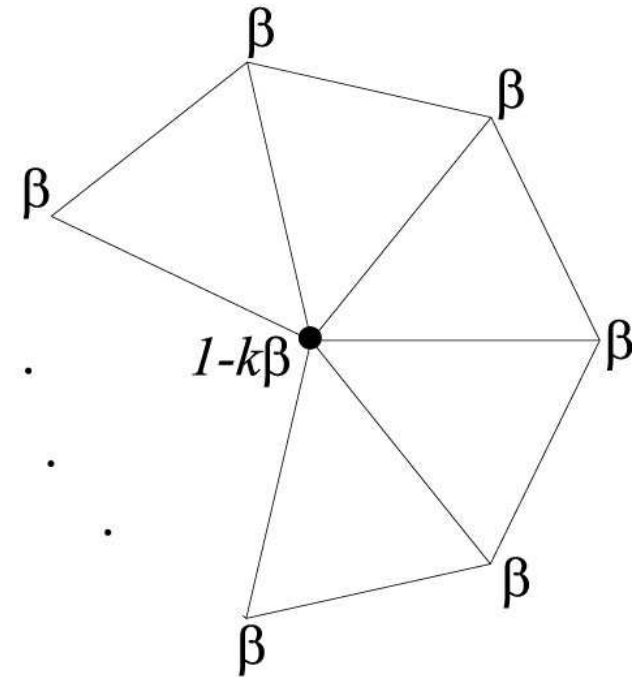
Loi de sommet



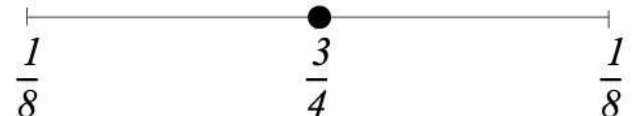
## Schéma de Loop



*Interior*



*Crease and boundary*

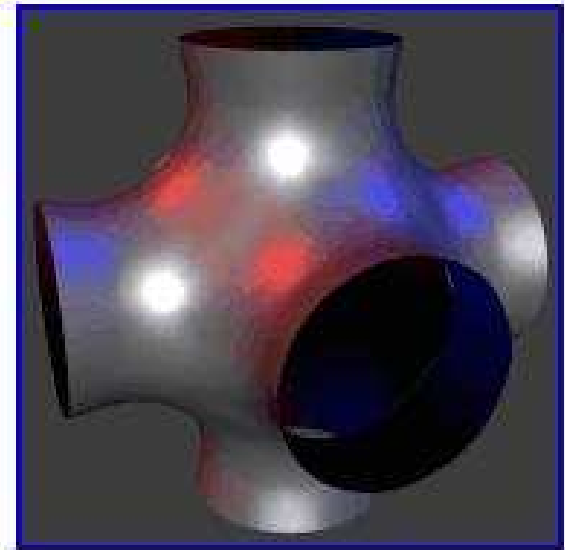
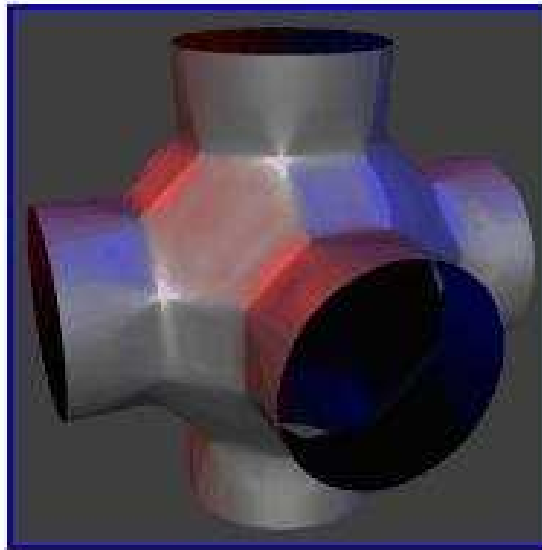
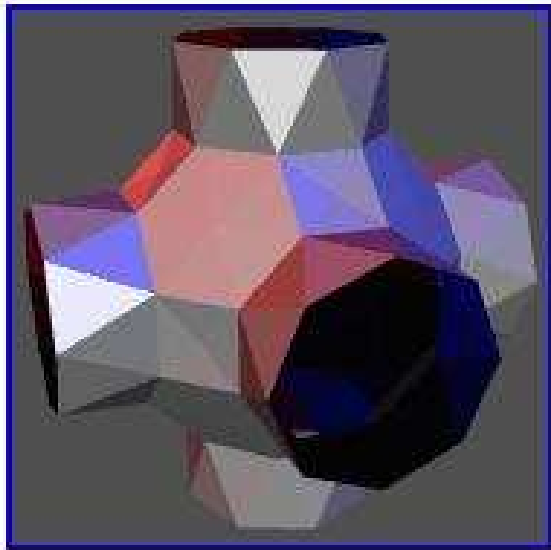


*a. Masks for odd vertices*

*b. Masks for even vertices*

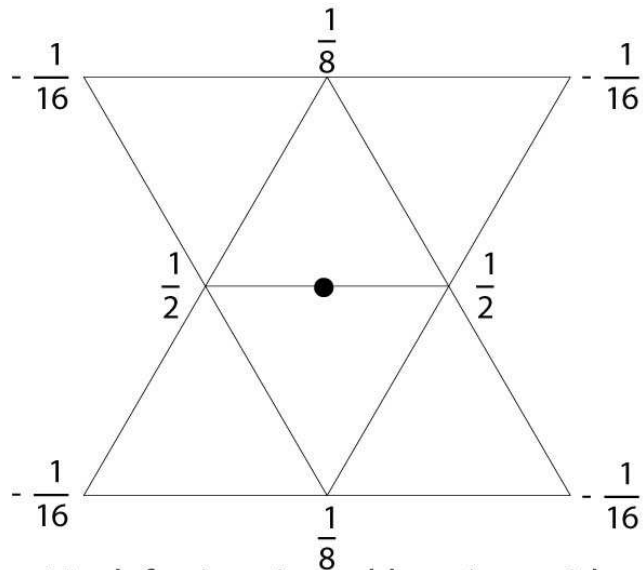
## Schéma Butterfly

- Schéma **interpolant**
- Fonctionne sur **maillages triangulaires quelconques**
- Simple à mettre en œuvre
  - 3 masques





# Schéma Butterfly

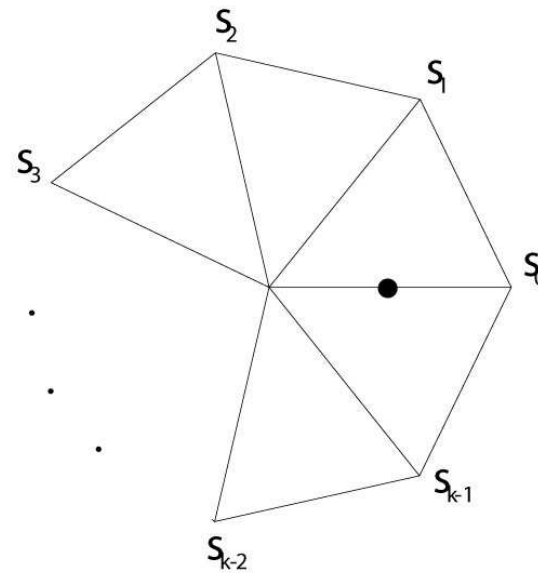


Mask for interior odd vertices with regular neighbors

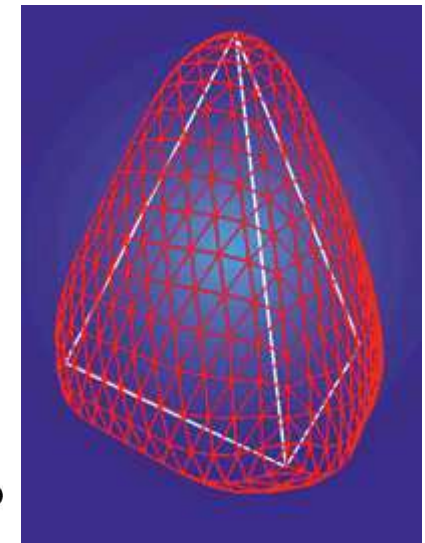


Mask for crease and boundary vertices

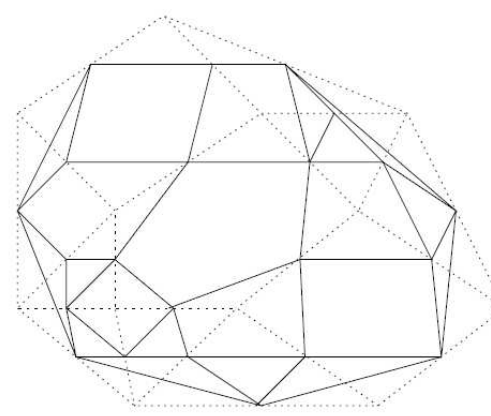
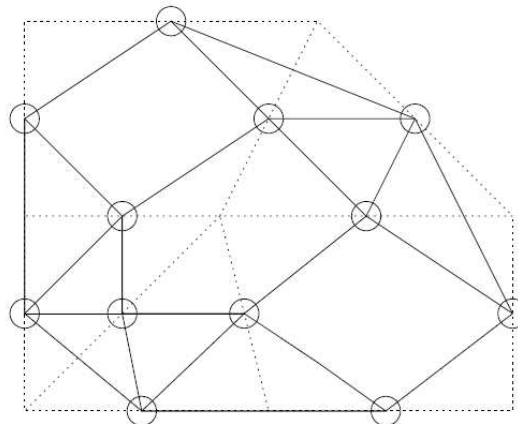
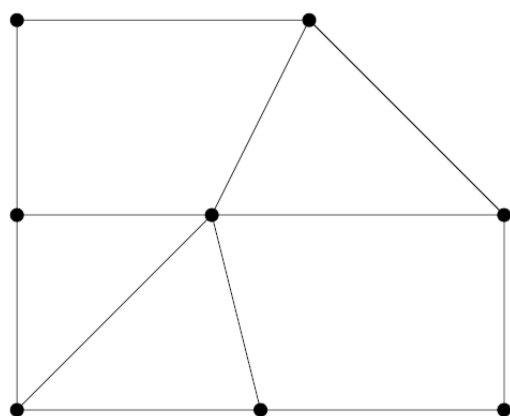
a. Masks for odd vertices



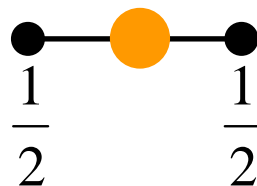
b. Mask for odd vertices adjacent to an extraordinary vertex



## Schéma Mid-edge



Masque d'arête



Puis relier entre eux chaque paire de nouveaux sommets adjacents à un même ancien sommet

## Schéma Racine de trois

- un sommet est ajouté au centre de chaque triangle
- chaque triangle est coupé en 3
- les anciennes arêtes internes sont "basculées"

